

NUMERO 3-4
DOPPIO

Spedizione in abbonamento postale - Gruppo Secondo

FEBBRAIO
1944 - XXII

ANNO

l'antenna

~ LA RADIO ~

XVI

QUINDICINALE DI RADIOTECNICA

The advertisement features a collection of vacuum tubes and their packaging. A prominent red zigzag line, resembling a radio signal, runs diagonally across the center. In the upper left, a red circular logo with the word "FIVVE" is visible. Below it, a box is labeled "Fabbrica Italiana Valvole Radio Elettriche Milano". Several vacuum tubes are shown, some with labels like "V10", "FIVVE", and "FIVVE". A box in the lower right corner has the word "fivve" in a script font. The name "RAGNONI" is printed in the bottom left corner of the image area.

FABBRICA ITALIANA VALVOLE RADIO ELETTRICHE - MILANO

Aumento temporaneo del 10%
per maggiori spese di trasporto

LIRE DIECI



LESAs

- MACCHINARIO
ELETTRICO
- RESISTENZE
ELETTRICHE
- ELETTROACUSTICA
- TELEFONIA
- R A D I O

• **LESAs** COSTRUZIONI ELETTROMECCANICHE
MILANO - VIA BERGAMO, 21 - TEL. 54342, 54343, 573206, 580990 •



Radio

**Amplificatori
e impianti
Strumenti
di misura**

CELLA

ALLOCCCHIO BACCHINI e C.
INGEGNERI COSTRUTTORI MILANO





Progetti e disegni per apparati radioelettrici.

Bozzetti per pubblicità in nero ed a colori.

Disegni per motori e meccanici in genere.

Disegni per la presentazione di brevetti.

Prospetti completi per lancio di novità.

Riproduzioni da fotografie e disegni.

Studi e progetti per aeronautica.

Esecuzione di lavori artistici.

Calcomanie · Vetrofanie.

Ingrandimenti.

Cianografie.

Eliografie.

DITTA O.R.P.E.A.

SEDE PROVVISORIA
VIA G. JEAN, 12
MILANO
TELEFONO N. 271-818



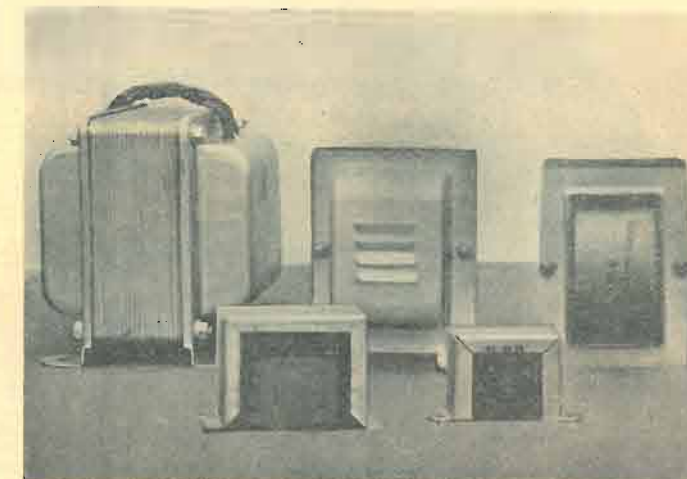
Officina Costruzioni Elettroacustiche

TRASFORMATORI
PER TUTTE
LE APPLICAZIONI RADIO

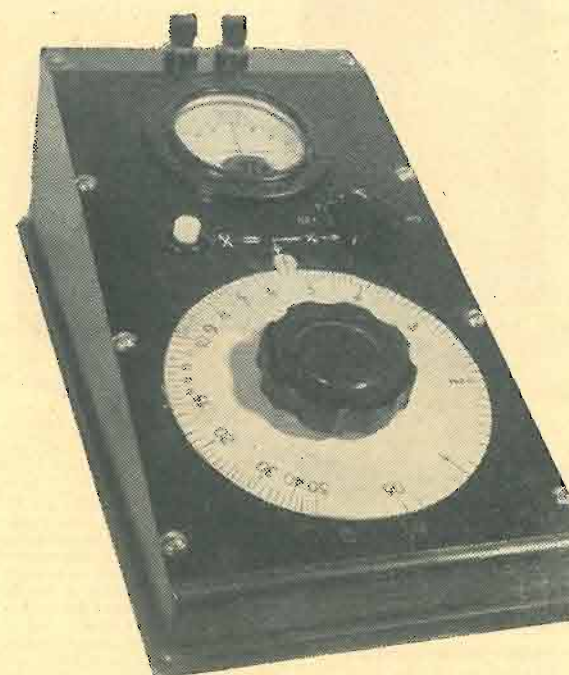
IMPEDENZE BF
AVVOLGIMENTI AF
A NIDO D'APE

MILANO

VIA BARDELLI, 11 - TELEFONO 296-525



Il Ponte a filo «ECO» MOD. E. D. 1



Strumento di finitura fine ed elegante, adatto anche per Laboratori di esperienza di una certa esigenza.

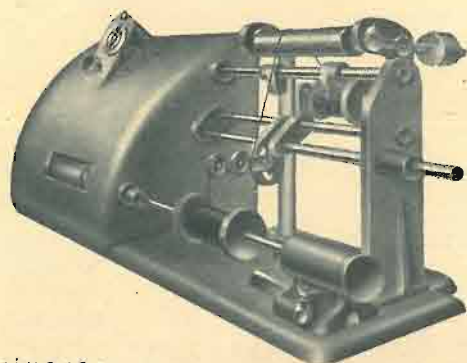
Caratteristiche principali:

- Galvanometro con zero al centro
- Resistenze campione antinduttive equilibrate a filo
- Potenziometro di grande diametro
- Pulsante per l'inserzione della batteria durante l'impiego
- Campo di misura tra 0,05 e 50000
- Sorgente di energia una semplice batteria tascabile da 4,5 V
- Errore limitato di lettura:
 - tra $\pm 0,5\%$ per i tre campi intermedi;
 - tra $\pm 0,2\%$ per il campo più piccolo;
 - tra $\pm 5\%$ per il campo maggiore.

ECONOMIA - FACILE IMPIEGO - REALIZZAZIONE FINISSIMA

Bobinatrice fluidoelettrica SINCRONA L 1 (Brevettata)

automatica, senza ingranaggi, senza frizioni, avvolgimento da filo centesimale a m/m 2 - nido d'api - funzionamento perfetto - rendimento massimo



scrivere:

MICROAUTOMATICA S. A.

MILANO - Via Pergolesi, 11 - Telefono 273-182

MISURATORE UNIVERSALE PROVAVALVOLE Mod. A.L.B. n. 1

Nuovo strumento applicato di grande diametro: 95 mm. di scala utile, indice rinforzato, a coltello, specchio. Scale multiple a facile lettura.



L'istrumento possiamo fornirlo a 1000 Ohm per Volt come a 10.000, a 20.000 e anche più.

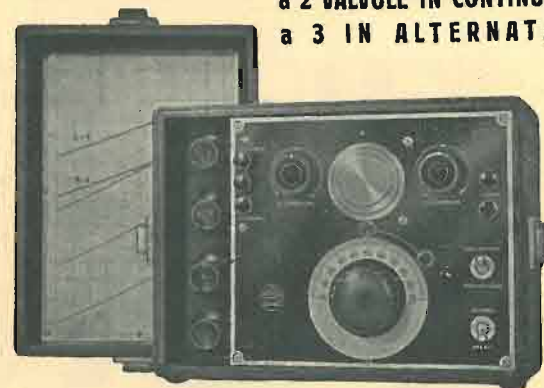
Pannello in bachelite stampata - Diciture in rilievo ed incise non cancellabili - Comutatori a scatto con posizione di riposo - Prova tutte le valvole comprese le oktal ecc. - Misura tensioni in c.c. ed in c.a. - fino a 1000 Volt - Resistenze da 1 Ohm a 10 Mega-Ohm - Condensatori da 50 pf. a 14 MF. Serve come misuratore d'uscita - prova isolamento - continuità dei circuiti.

GARANZIA
MESI SEI
PRECISIONE
PRATICITÀ
ROBUSTEZZA

Ing. A. L. BIANCONI - Milano - Via Caracciolo, 65 - Tel. 93-976

OSCILLATORE A.L.B. n. 2

a 2 VALVOLE IN CONTINUA
a 3 IN ALTERNATA



SOLIDITÀ - PRECISIONE - COSTANZA

Cinque gamme d'onda: da 12 a 3000 m. - Bobine intercambiabili - Schermatura perfetta a mezzo fusioni in alluminio - Pannello di grande spessore inossidabile - Indice a molla - Modulazione Interna ed esterna - Curve tracciate a mano per ogni apparecchio - Possibilità di avere qualsiasi altra bobina per altre gamme.

Ing. A. L. BIANCONI
MILANO - VIA CARACCILO, 65
TELEFONO N. 93-976

Officina Costruzioni Radioelettriche S. A.

Telef. 97-039 - 97-505

MILANO

Via Alleanza N. 7



Radio apparecchiature precise



PONTE DI MISURA RC MODELLO 1094

— Prospetti a richiesta —

VORAX S. A.

STRUMENTI DI MISURA
/ MINUTERIE / TUTTI GLI
ACCESSORI PER LA RADIO

MILANO - VIALE PIAVE N. 14
TELEFONO N. 24-405

ALFREDO ERNESTI

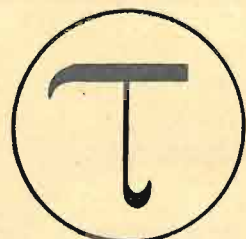
LABORATORIO SPECIALIZZATO PER AVVOLGIMENTI E RIAVOLGIMENTI DI PICCOLI TRASFORMATORI STATICI FINO A 2 KW.

Impedenze - bobinette per riproduttori fonografici, per cuffie e speciali. Bobine a nido d'ape per primari di aereo, di MF, per oscillatore, ecc. Tutti i riavvolgimenti per Radio. Lavori accurati e garantiti.

Via Napo Torriani, 3 - MILANO - Telefono n. 67013

COSTRUZIONI RADIOELETTRICHE APPARECCHIATURE STRUMENTI DI MISURA MATERIALI STACCATI PER Elettrotecnica e Radio

PER L'INDUSTRIA
PER IL RIPARATORE
PER IL DILETTANTE



precisione e qualità

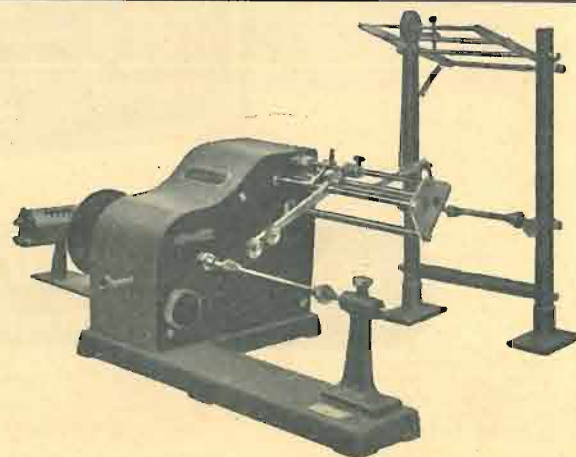
DITTA C.A.S.M.E. - VIA TADINO, 60 - MILANO

Macchine bobinatrici per industria elettrica

Semplici: per medi e grossi avvolgimenti
Automatiche: per bobine a spire parallele o a nido d'ape
Dispositivi automatici: di melli carla - di melli cotone a spire incrociate

CONTAGIRI • TACHIMETRI
BREVETTI E COSTRUZIONE NAZIONALI

Ing. R. PARAVICINI - AICURZIO (Milano)



RIVISTA QUINDICINALE DI RADIOTECNICA

Direzione, Amministrazione: Milano, Via Senato 24, Telefono 72.908
Conto corrente postale n. 3/24227

Abbonamento annuo L. 100 - Semestrale L. 55
Un fascicolo separato L. 5. Questo numero doppio L. 10. Estero il doppio

COMITATO DIRETTIVO

Prof. Dott. Ing. Rinaldo Sartori, *presidente* - Dott. Ing. Fabio Cisolti, *vice presidente* - Prof. Dott. Edoardo Amaldi - Dott. Ing. Cesare Borsarelli - Dott. Ing. Antonio Cannas - Dott. Fausto De Gaetano - Ing. Marino Della Rocca - Dott. Ing. Leandro Dobner - Dott. Ing. Maurizio Federici - Dott. Ing. Giuseppe Gaiani - Dott. Ing. Camillo Jacobacci - Dott. Ing. Gaetano Mannino Palanè - Dott. Ing. G. Monti Guarnieri - Dott. Ing. Sandro Novellone - Dott. Ing. Donato Pellegrino - Dott. Ing. Celio Pontello - Dott. Ing. Giovanni Rochat - Dott. Ing. Almerigo Saitz

DIRETTORE: Dott. Ing. Spartaco Giovane

SOMMARIO

dott. ing. E. Massano - Misure su bobine di induttanza in radiotecnica	pag. 19
prof. R. Sartori - Calcolo approssimato delle armoniche generate da un organo non lineare	» 35
ing. M. Della Rocca - Gli ultrasuoni	» 41
dott. ing. D. Migneco - Impedenza d'ingresso di una valvola amplificatrice	» 45
G. Termini - Uno Schema	» 48

G. Coppa - La classica supereterodina a 4+1 valvole per O. M.	pag. 49
C. Favilla - La trasmissione a grande distanza di correnti foniche di rilevante potenza	» 50
Notiziario tecnico	» 51
Recensioni	» 52
Consulenza	» 53

Misure su bobine di induttanza in radiotecnica

dott. ing. ETTORE MASSANO

Vengono descritti i principali sistemi attualmente in uso per la misura delle induttanze in Radiotecnica. Essi si possono riassumere in due categorie: metodi a ponti e metodi a risonanza. Nella categoria dei primi, si possono includere i sistemi utilizzando i quadripoli a doppio T, per quanto non si tratti di « ponti » nel senso classico. Di ciascun sistema viene impostata la teoria matematica elementare omettendone per brevità gli sviluppi e dando i risultati finali che interessano la misura. Si accenna quindi brevemente ad apparecchiature che possono servire per la misura delle induttanze sebbene servano normalmente per la misura di altri parametri, pure connessi al valore di una induttanza.

Vengono inoltre descritti brevemente un ponte per induttanze ed un induttmetro a risonanza.

PREMESSE.

La tecnica delle misure di induttanze in Radiotecnica nel suo processo di affinamento imposto dalla necessità di poter effettuare misure o controlli sempre più precisi, sia da parte dei Laboratori sia delle officine, si è orientata verso alcuni sistemi i quali hanno dimostrato di possedere i migliori requisiti per quanto riguarda il campo della Radiotecnica. Sono pertanto caduti in disuso i sistemi a ponte di Campbell, di Anderson Fleming ed altri che vengono solo più utilizzati nel campo delle basse o bassissime frequenze.

Restano invece sulla breccia gli apparecchi basati sul ponte di Wien e di Maxwell normalmente utilizzati per frequenze telefoniche e anche per Radiofrequenza limitatamente ad induttanze non inferiori ai 100 μ H, e i metodi a risonanza per induttanze di qualsiasi valore e per qualsiasi frequenza di lavoro.

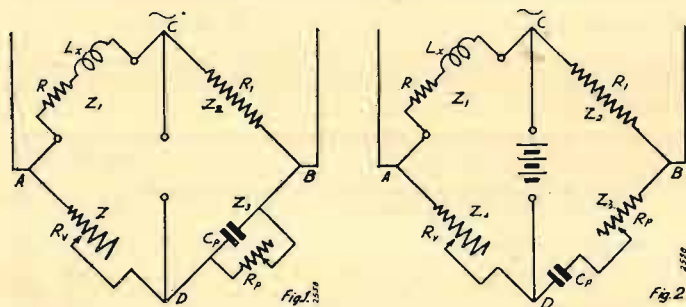
Oltre a questi sistemi ne descriveremo uno, meno noto, basato sulle proprietà discriminative dei quadripoli a doppio T, il quale come vedremo presenta notevoli vantaggi, sebbene gli apparecchi basati su que-

sto principio per le loro caratteristiche di funzionamento, siano per ora relegati unicamente nei Laboratori.

METODI A PONTE.

Gli schemi normalmente usati sono quelli di Maxwell e di Hay riportati rispettivamente nelle figg. 1 e 2. Di solito si trovano abbinati sulla stessa apparecchiatura e in tal caso un apposito commutatore permette di scegliere l'uno o l'altro a seconda delle esigenze. L'alimentazione avviene applicando tra i punti A e B una tensione alternata (normalmente a 1000 Hz) sicché la misura resta riferita a tale frequenza di lavoro, e l'azzeramento del ponte viene rivelato mediante una normale cuffia telefonica inserita fra i vertici C e D del ponte attraverso un opportuno trasformatore adattatore di impedenza, o meglio, negli apparecchi di maggiori pretese, mediante un rivelatore a valvola preadatto da uno stadio di amplificazione. Quest'ultimo sistema presenta diversi notevoli vantaggi dei quali ci limitiamo ad accennare i principali.

- 1) Avendo lo stadio amplificatore una impedenza di ingresso molto elevata, la sensibilità del ponte nel punto di azzeramento, è sempre massima.
- 2) Permette di applicare proficuamente nel rivelatore un filtro eliminatore di armoniche, le quali, se presenti nella tensione di alimentazione, rendono indistinto il punto di azzeramento.
- 3) Permette di alimentare il ponte con una tensione ridotta grazie all'amplificatore di tensione accoppiato allo stadio rivelatore.
- 4) L'ingombrante ed incomoda cuffia viene sostituita da un'indicatore visivo.
- 5) Permette di utilizzare un unico sistema di alimentazione per il generatore per il rivelatore.



La teoria matematica del ponte è molto semplice e nota; ci limiteremo quindi a ricordarne l'impostazione ed i risultati fondamentali. Invero affinché il ponte sia in equilibrio (cioè sia nulla la tensione fra i punti C e D, deve essere verificata la relazione (ved. figg. 1 e 2):

$$Z_1 Z_3 = Z_2 Z_4$$

Sviluppando questa relazione nei casi concreti dei ponti di Hay e di Maxwell, ed imponendo che l'eguaglianza sia verificata separatamente per le parti reali ed immaginarie, si perviene facilmente alle seguenti formule risolutive:

$$\begin{cases} L_x = R_v R_1 C_p \\ Q = \frac{\omega L_x}{R} = \omega R_p C_p \end{cases} \quad [1]$$

per il ponte di Maxwell; e

$$\begin{cases} L_x = R_v R_1 \frac{C_p}{\omega^2 R_p^2 C_p^2 + 1} \approx R_v R_1 C_p \quad (1) \\ Q = \frac{\omega L_x}{R} = \frac{1}{\omega R_p C_p} \end{cases} \quad [2]$$

per il ponte di Hay.

E' interessante notare come per le prime della [1] e [2], L_x risulta indipendentemente dalla frequenza e pertanto il valore dell'induttanza incognita resta unicamente riferite alla misura di una capacità e di due resistenze. Nelle pratiche realizzazioni il condensatore C_p ha un valore fisso, una delle resistenze, R_1 , viene variata a scatti e la seconda, R_v , è costituita da un reostato per avere una regolazione continua.

Il reostato R_v può essere tarato direttamente in L_x . Le seconde delle [1] e [2] permettono di ricavare il fattore di merito delle induttanze incognite riferito sempre naturalmente alla frequenza di funzionamento

(1) Il secondo passaggio nelle relazioni [2] è giustificato dal fatto che per i valori in pratica assegnati ai parametri ω , R_p , C_p , il termine $\omega^2 R_p^2 C_p^2$ risulta trascurabile di fronte all'unità.

del ponte. Anche il potenziometro R_p può essere tarato direttamente per i valori di Q .

La precisione ottenibile da questi ponti, dipende dalla finezza con la quale è possibile individuare il punto di azzeramento; occorre pertanto predisporre gli elementi del ponte in modo che la tensione di squilibrio che nasce tra i vertici C e D, per un certo spostamento ΔR_v del reostato R_v , dalla posizione corrispondente ad un equilibramento perfetto, sia più elevata possibile. Ora si dimostra che tale tensione di squilibrio ϵ è dato in valore assoluto dalla relazione: (2)

$$\epsilon = \left| \frac{A}{(1+A)^2} \right| \cdot \frac{\Delta R_v}{R_v} \quad \text{dove } A = \frac{Z_1}{Z_2} = \frac{Z_3}{Z_4}$$

La funzione $\left| \frac{A}{(1+A)^2} \right|$ viene chiamata « fattore del

ponte » e presenta un massimo in corrispondenza di $|A| = 1$ (3). La scelta dei valori da assegnare ai parametri del ponte, va pertanto fatta in modo da ottenere che tale valore massimo cada mediamente nel campo di variazione di R_v .

E' stato progettato e costruito un misuratore basato sul sistema a ponte descritto ed avente il generatore a 1000 Hz incorporato.

I valori dei parametri sono i seguenti:

R_1 può assumere a scatti i valori $1-10-10^2-10^3-10^4-10^5$ ohm.

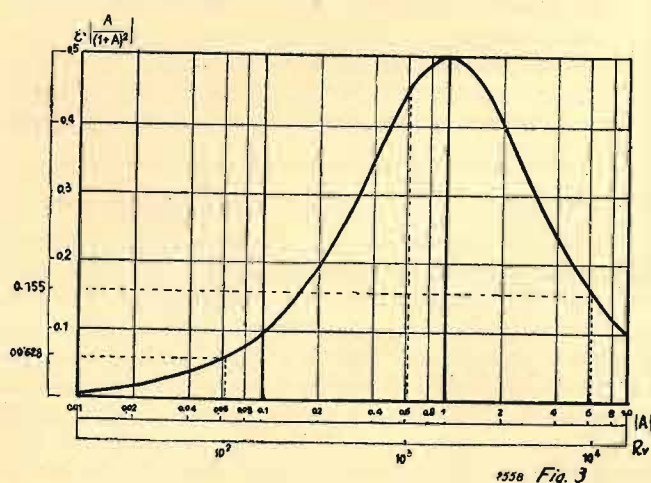
R_v reostato di grande sviluppo avente una variazione nominale da $100 \div 10000$ ohm.

C_p Condensatore a minima perdita (a mica) da $0,1 \mu F$.

R_p reostato da $0 \div 16000$ ohm per il ponte di Maxwell.

R_p reostato da $0 \div 160$ ohm per il ponte di Hay.

Si verifica facilmente mediante le [1] e [2] che per L_x si ottiene un campo di misura esteso da $10 \mu H$ a $100 H$. Per il fattore di merito il campo di misura si estenderà da 0 a 10 nel ponte di Maxwell e da 10 in avanti nel ponte di Hay.



Nella figura 3 è stata tracciata la curva del « fattore di ponte » relativa ai valori dei parametri sopra elen-

(2) Vedi: P. LOMBARDI: Equilibrio e sensibilità di ponti - A. E., 1941 - pag. 518.

(3) Nel lavoro di cui alla nota precedente, viene riportato il grafico della funzione $\left| \frac{A}{(1+A)^2} \right|$ funzione di $|A|$ e dell'argomento α di A .

Si rileva che il valore massimo della funzione corrisponde ad $|A| = 1$, vale 0,5 per $\alpha = 90^\circ$ e scende a 0,25 per $\alpha = 0^\circ$.

cati per il caso di una L_x puramente induttiva. Come si vede la sensibilità del ponte risulta massima in corrispondenza di $R_v = 1592$ ohm (cioè di $L_x = 159,2 \mu H$,

$1592 \mu H \dots$ etc.) mentre si riduce a circa $\frac{1}{8}$ del

valore massimo per $R_v = 100$ ohm e a $\sim \frac{1}{3}$ per $R_v = 10000$ ohm.

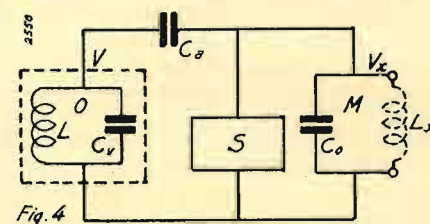
Occorre tener presente che se L_x presenta anche una componente attiva, il valore del fattore di ponte si abbassa a mano a mano che il fattore di merito di L_x peggiora (4).

Questi ponti presentano l'inconveniente in genere di poter funzionare solo a frequenze relativamente basse, sebbene si costruiscano anche con particolari cautele ponti funzionanti ad alta frequenza ($4 \div 5$ MHz ed anche oltre). Altri inconvenienti si riscontrano nella misura delle induttanze molto basse, per le quali non sia più lecito trascurare induttanze e capacità proprie dei collegamenti. Si ricorre in questi casi ai metodi a risonanza.

METODI A RISONANZA.

In fig. 4 è rappresentato uno schema di massima di misuratore di induttanza del tipo a risonanza. Il circuito oscillatorio M è composto dell'induttanza incognita L_x e della capacità fissa in parallelo C_0 .

Il circuito O comprende un generatore ad alta frequenza il quale viene debolmente accoppiato al circuito di misura M attraverso un piccolo condensato-



re C_a . La misura si effettua variando la frequenza f del generatore O , agendo sul condensatore variabile C_v , fino a renderla uguale a quella propria f_0 del circuito M . La risonanza del circuito di misura viene rivelata dal voltmetro a valvola S . Raggiunta la risonanza del circuito M si potrà scrivere, trascurando l'azione mutua tra i due circuiti, la seguente relazione:

$$f = f_0 = \frac{1}{2\pi \sqrt{LC_v}} = \frac{1}{2\pi \sqrt{L_x C_0}}$$

dalla quale si ricava immediatamente il valore dell'in-

duttanza incognita L_x ;

$$L_x = \frac{L C_v}{C_0}$$

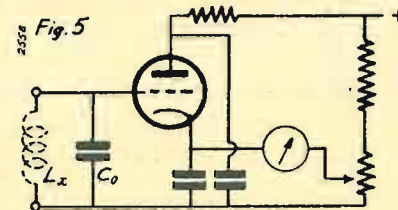
Risulta evidente che il condensatore C_v potrà essere tarato direttamente in valori di L_x , e se il suo rapporto

(4) Vedi ultima parte della nota precedente.

di variazione è uguale a 10, dando ad L i valori $1 L$, $10 L$, $10^2 L$, ... ecc. si potrà coprire con continuità il campo di misura desiderato. Meglio se C_v è a variazione logaritmica di capacità, perchè anche la scala di L_x risulterà logaritmica il che come è noto rende costante la precisione di lettura in tutti i punti della scala.

Il condensatore C_0 va scelto molto grande (almeno 1000 pF) affinché la capacità distribuita della bobina non abbia sensibile influenza sulla frequenza di risonanza.

La precisione ottenibile dipende dalla tensione del



generatore, dalla sensibilità del voltmetro a valvola e dal fattore di merito della bobina in esame; più elevato è questo, più grande sarà la tensione che si manifesta ai suoi capi.

Il voltmetro a valvola può consistere in un semplice triodo rivelatore per caratteristica anodica, nel quale si regola la sensibilità variando la polarizzazione (ved. fig. 5).

Per lo studio della sensibilità di questo induttmetro, occorre considerare che presentando C_a una impedenza molto elevata, il circuito M risulterà praticamente alimentato a corrente costante. In tali condizioni la tensione ai suoi capi sarà sensibilmente proporzionale all'impedenza del circuito stesso.

Il calcolo di questa tensione si effettua agevolmente partendo dalle espressioni del coefficiente di risonanza e dell'impedenza dinamica del circuito M :

$$\epsilon = \frac{\omega L_x}{R} \quad z_0 = \frac{L_x}{RC_0}$$

dalle quali eliminando $\frac{L_x}{R}$ si ottiene:

$$z_0 = \frac{\epsilon}{\omega C_0}$$

Ora se V è la tensione del generatore, la tensione V_x ai capi del circuito M alla risonanza vale ovviamente:

$$V_x = V \frac{\frac{\epsilon}{\omega C_0}}{\frac{\epsilon}{\omega C_0} - j \frac{1}{\omega C_a}}$$

e l'ampiezza di questa tensione sarà:

$$V_x = |V| = V \frac{\frac{\epsilon}{\omega C_0}}{\sqrt{\epsilon^2 + \left(\frac{C_a}{C_0}\right)^2}} = V \frac{\frac{\epsilon}{C_a}}{\sqrt{1 + \left(\frac{\epsilon C_a}{C_0}\right)^2}} \approx \frac{\epsilon C_a}{C_0} \quad [3]$$

L'ultimo passaggio è lecito in considerazione del fatto che risulta $\left(\frac{\epsilon C_a}{C_0}\right)^2 \ll 1$ per i valori in pratica assegnati a C_a e C_0 .

Ciò posto lo studio della sensibilità può essere condotto ricercando la variazione ΔI della corrente I_0 in-

dicata dallo strumento quando il condensatore C_v oppure l'induttanza (il che è lo stesso) subisce una data

variazione relativa $\frac{\Delta L}{L_0}$ dove L_0 è il valore dell'in-

duttanza L_x che realizza le condizioni di risonanza. Dovremo allora procedere alla ricerca di una certa fun-

$$\Delta I = f \left| \frac{\Delta L}{L_0} \right|.$$

Ora dalla teoria dei circuiti elettrici si ha che quando l'induttanza di un risonatore di tensione alimentato a

corrente costante subisce una variazione relativa $\frac{\Delta L}{L}$,

la tensione V_0 ai suoi capi si riduce a $V = \frac{V_0}{n}$ dove n è

definito dalla relazione: $\frac{\sqrt{n^2 - 1}}{\epsilon} = \frac{\Delta L}{L_0}$ [4].

L'Autore in altro lavoro (5) ha ricercato le relazioni che legano le variazioni relative dell'ampiezza della tensione alternata alimentante voltmetri a triodi alle variazioni relative della corrente anodica, trovando che in ogni caso si può porre:

$$\frac{\Delta I}{I_0} = \varphi(\theta) \frac{\Delta V}{V_0}$$

dove $\varphi(\theta)$ è una funzione dell'angolo di circolazione della corrente nel triodo, dipendente dalla caratteristica del triodo stesso.

Ponendo $\Delta V = V_0 - V_1$ e tenendo presente la [4] si ricava subito dalla [5]:

$$\frac{\Delta I}{I_0} = \varphi(\theta) \left(1 - \frac{1}{\sqrt{\epsilon^2 \left(\frac{L_0}{\Delta L} \right)^2 + 1}} \right) \quad [6]$$

La determinazione del valore di $\varphi(\theta)$ si effettua agevolmente mediante grafici riportati nel citato lavoro; questi grafici esigono però la conoscenza dell'angolo θ il quale nel caso di un triodo a caratteristiche lineari risulta determinato dalla nota relazione:

$$I_0 = V_x g_m \frac{\sin \theta - \theta \cos \theta}{\pi} \quad [7]$$

dove I_0 è il valore medio della corrente anodica e g_m la conduttanza mutua del triodo. Prefissati V_x , g_m , I_0 i diagrammi citati permettono di ricavare i valori di θ e $\varphi(\theta)$.

La [6] permette di trarre la seguente interessante conclusione: la sensibilità dell'apparecchiatura, al contrario di quanto abbiamo riscontrato per i ponti descritti nella prima parte, risulta indipendente dal particolare valore dell'induttanza in esame e dipende unicamente dal suo fattore di merito. Infatti, per quanto riguarda il secondo fattore del secondo membro, l'asserzione fatta è evidente; per quanto riguarda la funzione $\varphi(\theta)$ si può controllare che i suoi valori dipendono solo dalla tensione V_x sviluppata ai capi del circuito M , e questa a sua volta per la [3] risulta funzione solo di ϵ e non di L_x .

La sensibilità ottenibile con queste apparecchiature

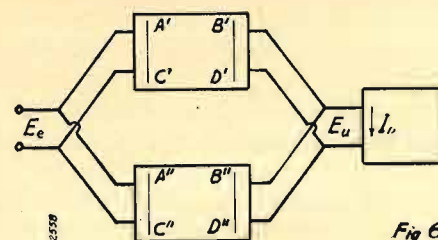
può essere spinta facilmente oltre l'1% (6).

Nelle misure di piccolissime induttanze, sotto 1 μH , non si può più trascurare l'induttanza dei collegamenti interni del circuito M , e se ne dovrà tener conto nella tracciatura della scala riferendosi ad un'induttanza campione misurata altrimenti o calcolata teoricamente (per esempio una spira rettangolare o circolare).

Anche di questo strumento è stato realizzato un esemplare con 5 campi di misura che vanno complessivamente da 0,1 μH a 10 mH. Lo strumento del rivelatore è un microamperometro da 100 μA .

CIRCUITI A DOPPIO T.

Accenniamo ora a un circuito per la misura delle impedenze in generale il quale è già stato realizzato praticamente da diversi autori (7). Esso è composto da due quadripoli aventi i morsetti di entrata e d'uscita comuni, i primi dei quali sono connessi a un generatore di tensione alternata ed i secondi ad un rivelatore di zero (fig. 6).



Se per rappresentare i due quadripoli si ricorre per esempio a parametri A, B, C, D , definiti dalle note relazioni

$$\begin{aligned} E_e &= AE_u + BI_u \\ I_e &= CE_u + DI_u \end{aligned} \quad [8]$$

è facile dimostrare che per aver tensione nulla ai morsetti d'uscita, è necessario che sia $B' + B'' = 0$ (8);

(6) Per esempio, con una corrente I_0 di 100 μA , una tensione V_x di 3 volt, ed un triodo avente una pendenza media 100 $\mu A/v$ si ricava dalla [7] $\sin \theta - \theta \cos \theta = 0,314$ e successivamente dai diagrammi $\varphi(\theta) = 1,54$.

Nel caso di una bobina avente una $\epsilon = 100$ per una deviazione della L dell'1% avremo dalla relazione [6]:

$$\frac{\Delta I}{I_0} = 1,54 \left(1 - \frac{1}{\sqrt{100^2 \left(\frac{1}{100} \right)^2 + 1}} \right) = 0,46$$

L'indicazione dello strumento risulta ampiamente visibile.

(7) Vedi per esempio: W. N. TUTTLE - Proc. I.R.E. gennaio 1940, pag. 23.

(8) Infatti se dalla prima delle [8] si ricavano le correnti d'uscita I'_u, I''_u relative ai due quadripoli, e se ne effettua la somma, si ottiene

$$\begin{aligned} I_u = I'_u + I''_u &= \frac{E_e - A' E_u}{B'} + \frac{E_e - A'' E_u}{B''} = \\ &= \frac{E_e (B' + B'') - (A' B'' + A'' B') E_u}{B' B''} \end{aligned}$$

dove I_u è la corrente che percorre il rivelatore, qualunque ne sia la sua impedenza Z_u . Ponendo ora nella precedente espressione

$I_u = \frac{E_u}{Z_u}$ e risolvendo rispetto a E_u si ottiene:

$$E_u = \frac{E_e (B' + B'') Z_u}{B' B'' + Z_u (A' B'' + A'' B')}$$

Ne deriva quindi che la condizione per avere $E_u = 0$ risulta

deve essere cioè nulla la somma delle impedenze mutue di corto circuito dei due quadripoli.

Ora è importante rilevare che la relazione:

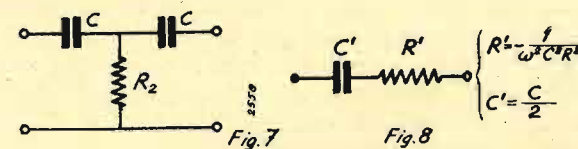
$$B' + B'' = 0$$

per l'azzeramento della tensione d'uscita è assolutamente generale e vale quindi qualunque sia l'impedenza del rivelatore di zero sulla quale vengono a trovarsi chiusi i morsetti.

Non occorre quindi come fa per es. il Tuttle (9) riferirsi, per il calcolo delle condizioni di azzeramento, al caso in cui il rivelatore di zero, costituisca un corto circuito per i morsetti ω .

In altro lavoro di prossima pubblicazione lo scrivente oltre a svolgere la teoria generale dei quadripoli connessi in parallelo, ha raccolto in tabelle diverse configurazioni di quadripoli dando per ciascuno di essi lo schema equivalente dell'impedenza mutua di c.c. B , e la espressione degli elementi R, C e L che la compongono.

L'utilità, veramente grande di queste tabelle consiste nel fatto che fermata l'attenzione sulla configurazione di un quadripolo, si può scegliere tra i diversi quadripoli elencati quelli che hanno una impedenza mutua di c.c. contraria a quella del primo cioè in grado di realizzare la condizione $B' + B'' = 0$. Si evita così di procedere a calcoli di verifica normalmente molto laboriosi e ingombranti.



Per esempio nelle citate tabelle si trova che al quadripolo rappresentato in fig. 7, corrisponde l'impedenza mutua di c.c. secondo lo schema equivalente di fig. 8 dove i valori equivalenti di R, C sono segnati a fianco.

Al quadripolo di fig. 9 corrispondono per B schema e valori indicati nella stessa figura.

Le due impedenze mutue possono quindi avere somma nulla essendo, la prima costituita da una capacità e da una resistenza negativa, la seconda da un'induttanza e da una resistenza positiva.

Si può allora ricavare le condizioni di azzeramento della tensione d'uscita imponendo che alla frequenza di funzionamento risulti $B' + B'' = 0$ cioè si abbia nel caso considerato:

$$B' + B'' = -\gamma \frac{2}{\omega C} - \frac{1}{\omega^2 C^2 R_2} + R + j\omega L = 0$$

Lo schema rappresentato in fig. 10 ottenuto riunendo in parallelo le cellule dianzi considerate potrà pertanto costituire un dispositivo di misura; inverso se si considerano L e la sua resistenza in serie R incognite, dalla relazione precedente si ricava subito:

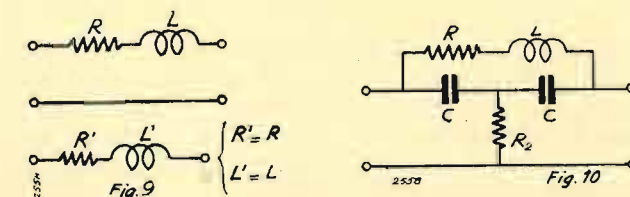
$$L = \frac{2}{\omega^2 C} \quad Q = \frac{\omega L}{R} = 2 \omega R_2$$

espressa da $B' + B'' = 0$ qualunque sia l'impedenza Z_u del rivelatore.

La stessa condizione vale per l'annullamento della corrente I_u come subito si controlla dividendo l'ultima relazione per Z_u .

(9) Vedi nota (7).

La brevità e il carattere elementare di questa esposizione non ci consentono di approfondire ulteriormente lo studio di questi circuiti e tralascieremo pertanto ogni considerazione sulla sensibilità e precisione. Sebbene risultino un pochino più complesse dei ponti descritti nella prima parte hanno però il grande vantaggio di avere un morsetto comune per il generatore e il rivelatore, che potrà venire collegato a massa; restano pertanto eliminati trasformatori schermati, terre di Wa-



gner, mentre viene notevolmente ridotta l'influenza delle capacità parassite.

Notiamo infine che il circuito a doppio T, può essere utilmente impiegato per misura di impedenze anche ad alta frequenza (fino a 30 MHz).

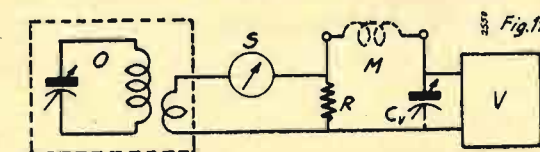
APPARECCHIATURE DIVERSE.

Diamo ora una breve descrizione di altri due apparecchi i quali oltre alla misura di una induttanza, servono a ricavare parametri che ne rispecchiano la sua « qualità ».

Rammentiamo che i parametri interessanti in modo particolare il progettista sono il coefficiente di risonanza, e la capacità residua.

Per quanto riguarda il coefficiente di risonanza abbiamo visto che i circuiti a ponte e quelli a doppio T oltre al valore dell'induttanza danno il valore del suo coefficiente di merito. Tale valore è però riferito alla frequenza di funzionamento del ponte, e non alla normale frequenza di funzionamento della bobina come sarebbe opportuno. Inoltre la lettura del coefficiente di merito, risulta in questi dispositivi assai meno precisa di quella dell'induttanza.

Per misure di confronto con un campione può servire anche l'induttmetro a risonanza descritto nella seconda parte. Se si esamina infatti la formula [3] del testo si rileva che la tensione V_x misurata dal voltme-



tro a valvola, risulta proporzionale al coefficiente di risonanza ϵ ; effettuando quindi la misura di due bobine di uguale induttanza si potrà giudicare dalla deviazione dello strumento quale delle due abbia una ϵ più elevata. Quando però occorre una determinazione precisa del coefficiente di risonanza occorre ricorrere ad altre apparecchiature.

MISURATORE DI Q.

Lo schema di questa apparecchiatura è rappresentato in fig. 11. Il generatore di alta frequenza O alimenta attraverso un amperometro a termocoppia S la resi-

stenza di accoppiamento R , in parallelo alla quale si trova inserito il circuito oscillatorio in serie M contenente l'induttanza incognita L_x . Se la resistenza R è tanto bassa rispetto a quella presentata dal circuito oscillatorio nelle condizioni di risonanza, da poter trascurare la corrente derivata su quest'ultimo di fronte a quella indicata dallo strumento S , si avrà che la tensione ai capi del condensatore misurata dal voltmetro a valvola V , sarà data da:

$$V_x = RI\varepsilon$$

Regolando quindi il generatore O in modo da mantenere costante la corrente I , controllata sullo strumento S , e regolato il condensatore variabile del circuito M alla risonanza, il voltmetro a valvola V darà direttamente il valore di ε indipendentemente dalla frequenza di funzionamento (10).

Il valore dell'induttanza non viene dato direttamente da questo apparecchio; se però il generatore M e il condensatore C_v sono tarati rispettivamente in frequenza e in capacità, il valore di L_x lo si può ricavare subito con il calcolo o servendosi di un abaco.

INDUTTAMETRI A DOPPIA FREQUENZA.

Questi apparecchi servono a determinare la capacità propria della bobina. E' noto che la capacità tra le diverse spire di una bobina, si può ridurre ricorrendo a speciali avvolgimenti (a nido d'ape, ondulato progressivo, a banco) ma non annullare, e non è possibile trascurarne l'influenza verso le frequenze più elevate.

Agli effetti del calcolo se ne può tener conto considerando la capacità distribuita tra le spire equivalente ad una capacità concentrata di opportuno valore inserita agli estremi della bobina; in tal modo questa viene a costituire un vero circuito oscillante in parallelo con una propria pulsazione ω_0 di risonanza. Per frequenze superiori a ω_0 tale equivalenza non risulta più sufficientemente approssimata ed il comportamento della bobina si dovrà studiare considerandola come una speciale linea a costanti distribuite.

In genere però la frequenza normale di funzionamento della bobina è notevolmente inferiore a quella propria ω_0 ; ne deriva allora l'opportunità di poter misurare il valore della capacità equivalente in parallelo C_r .

A questo fine un semplice calcolo ci dice che per effetto della capacità residua C_r la bobina si comporta come se avesse un'induttanza apparente.

$$L' = \frac{L}{1 - \left(\frac{\omega}{\omega_0}\right)^2}$$

dove L e ω_0 sono rispettivamente l'induttanza naturale e la pulsazione propria di risonanza. Se pertanto con una apposita apparecchiatura, si effettua la misura dell'induttanza a due frequenze diverse, per esempio ω e 2ω , si otterranno due diversi valori, L' e L'' dell'in-

(10) Benché il funzionamento di questa apparecchiatura risulti teoricamente molto semplice, la realizzazione presenta difficoltà superabili solo da una accurata tecnica costruttiva. Infatti non è facile far sì che l'impedenza di R si mantenga costante al variare della frequenza, ed eliminare gli accoppiamenti diretti tra il generatore ed il circuito M a causa del basso valore della resistenza R .

duttanza apparente e si potrà allora scrivere il seguente sistema di due equazioni:

$$L' = \frac{L}{1 - \left(\frac{\omega}{\omega_0}\right)^2}$$

$$L'' = \frac{L}{1 - 4 \left(\frac{\omega}{\omega_0}\right)^2}$$

Risolvendo questo sistema si ricava il valore dell'induttanza naturale L , della capacità residua C_r e se interessa, della pulsazione propria di risonanza ω_0 , le cui espressioni in funzione di L' , L'' e ω risultano:

$$L = \frac{3L'L''}{4L'' - L'}$$

$$C_r = \frac{L'' - L'}{3\omega^2 L'L''}$$

$$\omega_0 = \omega \sqrt{\frac{4L'' - L'}{L'' - L'}}$$

In pratica, come si è detto, interessa misurare rapidamente C_r , e per questo si dispone di un induttmetro che può alimentare il circuito di misura con due frequenze fisse, una doppia dell'altra. La sintonizzazione del circuito di misura si ottiene variando la capacità C_0 della fig. 5 la quale sarà costituita questa volta da un condensatore variabile tarato. Chiamando C'_0 e C''_0 i due valori di C_0 che sintonizzano il circuito M alle pulsazioni ω e 2ω , si avrà ovviamente:

$$\omega^2 = \frac{1}{L(C_r + C'_0)}; \text{ e } 4\omega^2 = \frac{1}{L(C_r + C''_0)}$$

Da queste si ricava subito il valore di C_r :

$$C_r = \frac{C'_0 - 4C''_0}{3}$$

Dr. ing. ETTORE MASSANO

Servizio libreria

richiedete ci:
CARLO TAGLIABUE

IMPIANTI ELETTROACUSTICI

Microfoni - Amplificatori
- Altoparlanti - Accessori
Calcolo delle installazioni
Tecnica del cinesonoro.

Prezzo L. 75.-

Ai nostri abbonati sconto del 10 %

Calcolo approssimato delle armoniche generate da un organo non lineare

prof. RINALDO SARTORI

(2560)

Accade sovente in pratica di dover calcolare le armoniche contenute nella risposta che un organo non lineare (per esempio una valvola elettronica, od un amplificatore) fornisce ad un segnale sinusoidale puro. Quando la caratteristica dinamica di tale apparato, intesa come relazione tra i valori istantanei della risposta e del segnale impresso, coincide con la sua caratteristica statica il calcolo si può fare per mezzo di formule approssimate, che consentono di ottenere approssimazioni elevate fin che si vuole.

Per fissare le idee supporremo di voler calcolare le armoniche della corrente anodica di una valvola elettronica funzionante con carico puramente resistivo ed eccitata sulla griglia da una tensione sinusoidale di frequenza sufficientemente bassa perchè la caratteristica mutua dinamica risulti praticamente coincidente con quella statica. Come è noto tale ipotesi si verifica bene in tutto il campo delle frequenze acustiche, ed in generale si verifica fin tanto che si possono trascurare le correnti capacitive tra gli elettrodi. Natural-

Fig. 1 - a Caratteristiche mutua corrente anodica (I) — tensione di griglia (V). — b Tensione sinusoidale impressa alla griglia. — c Corrente anodica di risposta.

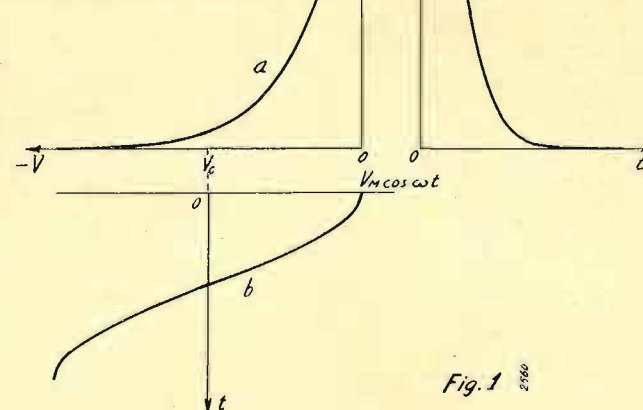
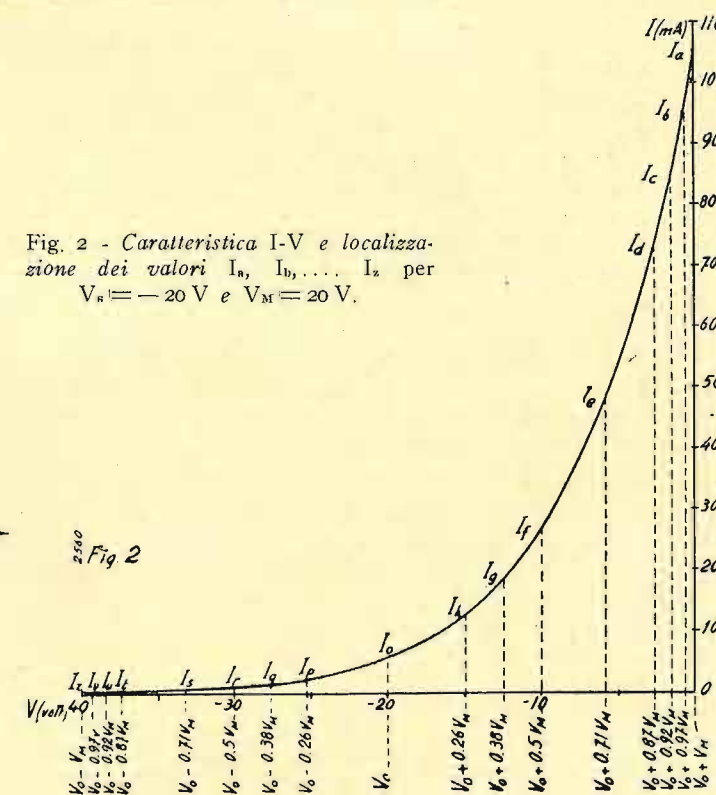


Fig. 1

Fig. 2 - Caratteristica I-V e localizzazione dei valori I_1, I_2, \dots, I_n per $V_g = -20$ V e $V_M = 20$ V.



mente le espressioni sono applicabili a qualsiasi altro apparato, che si presenti con proprietà analoghe; per esempio esse sono applicabili al calcolo del flusso magnetico nel nucleo di una bobina percorsa da corrente continua e da corrente sinusoidale, quando si trascurino gli effetti dell'isteresi e delle correnti di Foucault.

Supponiamo dunque di conoscere la caratteristica mutua che fornisce i valori della corrente continua anodica I corrispondenti ai valori della tensione continua di griglia V , per dati valori costanti della tensione anodica e del carico anodico (fig. 1). Quando la tensione di griglia oscilla sinusoidalmente, con frequenza f ed ampiezza V_M intorno ad un valore costante di polarizzazione V_0 , cioè è data da:

$$v = V_0 + V_M \cos \omega t \quad (\omega = 2\pi f),$$

la corrente anodica i varia periodicamente con la stessa frequenza f (fig. 1) ed è rappresentabile mediante la somma di una componente costante I_m con una serie di componenti sinusoidali di frequenza $f, 2f, 3f, \dots$ e di ampiezza rispettivamente I_1, I_2, I_3, \dots , cioè si può scrivere nella forma:

$$i = I_m + I_1 \cos \omega t + I_2 \cos 2\omega t + I_3 \cos 3\omega t + \dots$$

Rimandiamo in appendice la deduzione e l'esposizione delle formule generali approssimate valevoli per

il calcolo di $I_m, I_1, I_2, I_3, \dots$ e riuniamo qui invece i casi particolari, che sono di uso più frequente e più utile in pratica, esposti in ordine di approssimazione crescente.

In figura 2 sono indicati i valori di corrente, che si devono determinare per introdurli nelle formule. Essi sono elencati qui sotto, avendo indicato, come d'abitudine, con $I(V_0 + \alpha V_M)$ il valore della corrente che si legge sul grafico della caratteristica in corrispondenza del valore $V_0 + \alpha V_M$ della tensione.

ESPRESSIONI APPROSSIMATE DELLA COMPONENTE CONTINUA E DELLE PRIME CINQUE ARMONICHE DELLA CORRENTE ANODICA.

V_0 = tensione di polarizzazione

I_m = componente continua

I_2 = ampiezza della seconda armonica

I_4 = ampiezza della quarta armonica

V_M = ampiezza del segnale sinusoidale

I_1 = ampiezza della prima armonica

I_3 = ampiezza della terza armonica

I_5 = ampiezza della quinta armonica.

$$I_a = I(V_0 + V_M) \quad I_b = I(V_0 + 0,97 V_M) \quad I_c = I(V_0 + 0,92 V_M) \quad I_d = I(V_0 + 0,87 V_M)$$

$$I_e = I(V_0 + 0,71 V_M) \quad I_f = I(V_0 + 0,5 V_M) \quad I_g = I(V_0 + 0,38 V_M) \quad I_h = I(V_0 + 0,26 V_M)$$

$$I_o = I(V_0) \quad I_p = I(V_0 - 0,26 V_M) \quad I_q = I(V_0 - 0,38 V_M) \quad I_r = I(V_0 - 0,5 V_M)$$

$$I_s = I(V_0 - 0,71 V_M) \quad I_t = I(V_0 - 0,87 V_M) \quad I_u = I(V_0 - 0,92 V_M) \quad I_v = I(V_0 - 0,97 V_M)$$

$$I_z = I(V_0 - V_M)$$

$$I \begin{cases} I_m = \frac{1}{4} (I_a + 2 I_o - I_z) \\ I_1 = \frac{1}{2} (I_a - I_z) \end{cases}$$

$$II \begin{cases} I_m = \frac{1}{6} (I_a + 2 I_f + 2 I_r + I_z) \\ I_1 = \frac{1}{3} (I_a + I_f - I_r - I_z) \\ I_2 = \frac{1}{3} (I_a - I_f - I_r + I_z) \end{cases}$$

$$III \begin{cases} I_m = \frac{1}{8} (I_a + 2 I_e + 2 I_o + 2 I_s + I_z) \\ I_1 = \frac{1}{4} (I_a + 1,41 I_e - 1,41 I_s - I_z) \\ I_2 = \frac{1}{4} (I_a - 2 I_o + I_z) \\ I_3 = \frac{1}{4} (I_a + 1,41 I_e - 1,41 I_s - I_z) \end{cases}$$

$$IV \begin{cases} I_m = \frac{1}{12} (I_a + 2 I_d + 2 I_f + 2 I_o + 2 I_r + 2 I_t + I_z) \\ I_1 = \frac{1}{6} (I_a + 1,73 I_d + I_f - I_r - 1,73 I_t - I_z) \\ I_2 = \frac{1}{6} (I_a + I_d - I_f - 2 I_o - I_r + I_t + I_z) \\ I_3 = \frac{1}{6} (I_a - 2 I_f + 2 I_r - I_z) \\ I_4 = \frac{1}{6} (I_a - I_d - I_f + 2 I_o - I_r - I_t + I_z) \\ I_5 = \frac{1}{6} (I_a - 1,73 I_d + I_f - I_r + 1,73 I_t - I_z) \end{cases}$$

$$V \begin{cases} I_m = \frac{1}{16} (I_a + 2 I_c + 2 I_e + 2 I_g + 2 I_o + I_q + 2 I_s + 2 I_u + I_z) \\ I_1 = \frac{1}{8} (I_a + 1,85 I_c + 1,41 I_e + 0,76 I_g - 0,76 I_q - 1,41 I_s - 1,85 I_u - I_z) \\ I_2 = \frac{1}{8} (I_a + 1,41 I_c - 1,41 I_g - 2 I_o - 1,41 I_q + 1,41 I_u + I_z) \\ I_3 = \frac{1}{8} (I_a + 0,76 I_c - 1,41 I_e - 1,85 I_g + 1,85 I_q + 1,41 I_s - 0,76 I_u - I_z) \\ I_4 = \frac{1}{8} (I_a - 2 I_e + 2 I_o - 2 I_s + I_z) \\ I_5 = \frac{1}{8} (I_a - 0,76 I_c - 1,41 I_e + 1,85 I_g - 1,85 I_q + 1,41 I_s - 0,76 I_u - I_z) \end{cases}$$

$$VI \begin{cases} I_m = \frac{1}{24} (I_a + 2 I_b + 2 I_d + 2 I_e + 2 I_f + 2 I_h + 2 I_o + 2 I_p + 2 I_r + 2 I_s + 2 I_t + 2 I_v + I_z) \\ I_1 = \frac{1}{12} (I_a + 1,93 I_b + 1,73 I_d + 1,41 I_e + I_f + 0,52 I_h - 0,52 I_p - I_r - 1,41 I_s - 1,73 I_t - 1,93 I_v - I_z) \\ I_2 = \frac{1}{12} (I_a + 1,73 I_b + I_d - I_f - 1,73 I_h - 2 I_o - 1,73 I_p - I_r + I_t + 1,73 I_v + I_z) \\ I_3 = \frac{1}{12} (I_a + 1,41 I_b - 1,41 I_e - 2 I_f - 1,41 I_h + 1,41 I_p + 2 I_r + 1,41 I_s - 1,41 I_v - I_z) \\ I_4 = \frac{1}{12} (I_a + I_b - I_d - 2 I_e - I_f + I_h + 2 I_o + I_p - I_r - 2 I_s - I_t + I_v + I_z) \\ I_5 = \frac{1}{12} (I_a + 0,52 I_b - 1,73 I_d - 1,41 I_e + I_f + 1,93 I_h - 1,93 I_p - I_r + 1,41 I_s + 1,73 I_t - 0,52 I_v - I_z) \end{cases}$$

TABELLA 1 - Coefficienti dei valori di $I = I(V)$ per il calcolo delle armoniche

Valori della tensione		V_M																
		$V_0 + V_M$	$V_0 + 0.97 V_M$	$V_0 + 0.92 V_M$	$V_0 + 0.87 V_M$	$V_0 + 0.71 V_M$	$V_0 + 0.5 V_M$	$V_0 + 0.38 V_M$	$V_0 + 0.26 V_M$	V_0	$V_0 - 0.26 V_M$	$V_0 - 0.38 V_M$	$V_0 - 0.5 V_M$	$V_0 - 0.71 V_M$	$V_0 - 0.87 V_M$	$V_0 - 0.92 V_M$	$V_0 - 0.97 V_M$	$V_0 - V_M$
Valori della corrente		I_a	I_b	I_c	I_d	I_e	I_f	I_g	I_h	I_o	I_p	I_q	I_r	I_s	I_t	I_u	I_v	I_z
I	$4 I_m$	1	—	—	—	—	—	—	—	2	—	—	—	—	—	—	—	1
	$2 I_1$	1	—	—	—	—	—	—	—	—	—	—	—	—	—	—	—	-1
II	$6 I_m$	1	—	—	—	—	2	—	—	—	—	—	2	—	—	—	—	1
	$3 I_1$	1	—	—	—	—	1	—	—	—	—	—	-1	—	—	—	—	-1
	$3 I_2$	1	—	—	—	—	-1	—	—	—	—	—	-1	—	—	—	—	1
III	$8 I_m$	1	—	—	—	2	—	—	—	2	—	—	—	2	—	—	—	1
	$4 I_1$	1	—	—	—	1.41	—	—	—	—	—	—	—	-1.41	—	—	—	-1
	$4 I_2$	1	—	—	—	—	—	—	—	2	—	—	—	—	—	—	—	1
	$4 I_3$	1	—	—	—	-1.41	—	—	—	—	—	—	—	1.41	—	—	—	-1
IV	$12 I_m$	1	—	—	2	—	2	—	—	2	—	—	2	—	2	—	—	1
	$6 I_1$	1	—	—	1.73	—	1	—	—	—	—	—	-1	—	-1.73	—	—	-1
	$6 I_2$	1	—	—	1	—	-1	—	—	-2	—	—	-1	—	1	—	—	1
	$6 I_3$	1	—	—	—	—	-2	—	—	—	—	—	2	—	—	—	—	-1
	$6 I_4$	1	—	—	-1	—	-1	—	—	2	—	—	-1	—	-1	—	—	1
	$6 I_5$	1	—	—	-1.73	—	1	—	—	—	—	—	-1	—	1.73	—	—	-1
V	$16 I_m$	1	—	2	—	2	—	2	—	2	—	2	—	2	—	2	—	1
	$8 I_1$	1	—	1.85	—	1.41	—	0.76	—	—	—	-0.76	—	-1.41	—	-1.85	—	-1
	$8 I_2$	1	—	1.41	—	—	—	-1.41	—	-2	—	-1.41	—	—	—	1.41	—	1
	$8 I_3$	1	—	0.76	—	-1.41	—	-1.85	—	—	—	1.85	—	1.41	—	-0.76	—	-1
	$8 I_4$	1	—	—	—	-2	—	—	—	2	—	—	—	-2	—	—	—	1
$8 I_5$	1	—	-0.76	—	-1.41	—	1.85	—	—	—	1.85	—	1.41	—	0.76	—	-1	
VI	$24 I_m$	1	2	—	2	2	2	—	2	2	2	—	2	2	2	—	2	1
	$12 I_1$	1	1.93	—	1.73	1.41	1	—	0.52	—	-0.52	—	-1	-1.41	-1.73	—	-1.93	-1
	$12 I_2$	1	1.73	—	1	—	-1	—	-1.73	-2	-1.73	—	-1	—	1	—	1.73	1
	$12 I_3$	1	1.41	—	—	-1.41	-2	—	-1.41	—	1.41	—	2	1.41	—	—	1.41	-1
	$12 I_4$	1	1	—	-1	-2	-1	—	1	2	1	—	-1	-2	-1	—	1	1
	$12 I_5$	1	0.52	—	-1.73	-1.41	1	—	1.93	—	-1.93	—	-1	1.41	1.73	—	-0.52	-1

Le formule sono riassunte nella tabella I, in cui ogni riga orizzontale corrisponde ad una delle formule approssimate suesposte e contiene i coefficienti numerici di tale formula; ogni coefficiente è scritto nella colonna in testa alla quale è indicato il valore di corrente, per cui tale coefficiente va moltiplicato. La tabella è divisa in sei gruppi, esattamente come le formule prima esposte. Per illustrare l'uso della tabella supponiamo di voler calcolare la terza armonica I_3 con le formule del gruppo V; a tale scopo si dovrà moltiplicare ogni coefficiente, letto nella riga orizzontale I_3 - gruppo V, per il valore della corrente che è indicato in testa alla colonna in cui si trova il coefficiente e che viene letto sul grafico in corrispondenza alla tensione segnata pure in testa alla colonna; nel caso particolare in esame dovremo eseguire le operazioni:

$$1 \times I_a; 0,76 \times I_e; -1,41 \times I_g; -1,85 \times I_h; 1,85 \times I_i; 1,41 \times I_s; -0,76 \times I_m; -1 \times I_n;$$

poi si dovranno sommare i numeri così ottenuti, tenendo conto del segno, cioè si dovrà eseguire la differenza tra la somma dei numeri ottenuti con coefficienti positivi e la somma dei numeri con coefficienti negativi; finalmente il risultato così ottenuto si divide per il numero che figura a sinistra del simbolo dell'armonica, cioè 8 nel nostro caso. Nella tabella II si ha un esempio di calcolo con i coefficienti del gruppo V, leggendo i valori di corrente sulla caratteristica di figura 2; in tale tabella non sono segnati i valori di corrente, il cui coefficiente sarebbe zero.

TABELLA 2 - Esempio di calcolo con le formule del gruppo V e il grafico della figura 2 - $V_o = -20$ volt $V_M = 20$ volt

Valori della tensione	0	-1.6	-5.8	-12.4	-20	-27.6	-34.2	-38.4	-40	Σ	Valori delle armoniche
Valori della corrente	106.4	88.5	49.6	18.8	5.2	1.5	0.6	0.2	0		
16 I_m	106.4	177.0	99.2	37.6	10.4	3.0	1.2	0.4	0	435.2	27.2
8 I_1	106.4	163.7	70.1	14.4	—	-1.1	-0.8	-0.4	0	352.3	44.0
8 I_2	106.4	125.1	—	-26.6	10.4	-2.1	—	0.3	0	192.7	24.1
8 I_3	106.4	67.6	-70.1	-34.8	—	2.8	0.8	-0.2	0	72.5	9.1
8 I_4	106.4	—	-99.2	—	10.4	—	-1.2	—	0	16.4	2.1
8 I_5	106.4	-67.6	-70.1	34.8	—	-2.8	1.2	0.2	0	2.1	0.3

Quanto all'uso delle varie formule si può osservare:

le formule, o i coefficienti, del gruppo I possono servire per calcoli di orientamento, quando sia sufficiente una grossolana approssimazione e interessi soltanto la prima armonica;

le formule del gruppo II danno una migliore approssimazione e consentono di valutare anche la seconda armonica;

le formule del gruppo III migliorano ulteriormente l'approssimazione e consentono di valutare anche la terza armonica;

le formule del gruppo IV forniscono i valori delle prime cinque armoniche con approssimazione che in molti casi può essere sufficiente;

le formule del gruppo V forniscono in generale un'approssimazione più che sufficiente ai bisogni della pratica;

le formule del gruppo VI sono da usarsi soltanto in casi eccezionali, o quando si desidera un'approssimazione elevata, o quando la caratteristica è molto irregolare, o quando si studiano funzionamenti in classe C con angoli di circolazione molto piccoli.

TABELLA 3 - Confronto dei valori collocati con le diverse approssimazioni sulla caratteristica della figura 2 per $V_o = -20$ volt e $V_M = 20$ volt

Gruppo di formule	I	II	III	IV	V	VI
I_m	29.2	27.2	27.2	27.3	27.2	27.2
I_1	53.2	44.2	43.9	43.9	44.0	43.9
I_2	—	26.0	24.0	23.8	24.1	23.9
I_3	—	—	9.3	9.0	9.1	9.0
I_4	—	—	—	2.1	2.1	2.0
I_5	—	—	—	0.3	0.3	0.3

Per avere un'idea dell'ordine di approssimazione riuniamo nella tabella III i valori delle armoniche ricavate dalla caratteristica di fig. 2 con i diversi gruppi di formule.

E' evidente che l'unità in cui risultano espresse le ampiezze delle armoniche è quella stessa con cui si leggono le correnti sul grafico. Nel caso nostro le correnti sono tutte date in milliampere.

APPENDICE.

Le formule esposte si deducono dalle espressioni generali dei coefficienti della serie di Fourier mediante un'integrazione approssimata. Esporremo con qualche dettaglio il calcolo del valore medio I_m . Notoriamente si ha:

$$I_m = \frac{1}{\pi} \int_0^\pi I (V_o + V_M \cos \alpha) d\alpha$$

ossia I_m si ottiene calcolando l'area del diagramma di una semi-onda della corrente e dividendola per la larghezza π di detta onda. Ora quest'area si può calcolare, in via approssimata, dividendo la semi-onda di corrente in n trapezi, di uguale altezza $\frac{\pi}{n}$, mediante $n-1$ parallele all'asse delle ordinate tra loro equidistanti, e

sommando le aree di questi, valutate nell'ipotesi che il tratto di caratteristica compreso tra due ordinate sia rettilineo. Si ottiene allora:

$$I_m = \frac{1}{2n} \left\{ I(V_o + V_M) + 2I(V_o + V_M \cos \frac{\pi}{n}) + 2I(V_o + V_M \cos 2 \frac{\pi}{n}) + \dots \right. \\ \left. \dots + 2I(V_o + V_M \cos \frac{n-1}{n} \pi) + I(V_o - V_M) \right\}$$

In modo analogo la prima armonica si ottiene calcolando l'area della curva $I(V_o + V_M \cos \alpha) \cos \alpha$, che si ottiene moltiplicando per $\cos \alpha$ la curva della corrente; la seconda armonica si ricava valutando l'area di $I(V_o + V_M \cos \alpha) \cos 2\alpha$; e così via. E si ha quindi:

$$I_1 = \frac{1}{n} \left\{ I(V_o + V_M) + 2I(V_o + V_M \cos \frac{\pi}{n}) \cdot \cos \frac{\pi}{n} + 2I(V_o + V_M \cos 2 \frac{\pi}{n}) \cdot \cos 2 \frac{\pi}{n} + \dots \right. \\ \left. \dots + 2I(V_o + V_M \cos \frac{n-1}{n} \pi) \cdot \cos \frac{n-1}{n} \pi + I(V_o - V_M) \right\}$$

$$I_2 = \frac{1}{n} \left\{ I(V_o + V_M) + 2I(V_o + V_M \cos \frac{\pi}{n}) \cdot \cos 2 \frac{\pi}{n} + 2I(V_o + V_M \cos 2 \frac{\pi}{n}) \cdot \cos 4 \frac{\pi}{n} + \dots \right. \\ \left. \dots + 2I(V_o + V_M \cos \frac{n-1}{n} \pi) \cdot \cos 2 \frac{n-1}{n} \pi + I(V_o - V_M) \right\}$$

$$I_3 = \frac{1}{n} \left\{ I(V_o + V_M) + 2I(V_o + V_M \cos \frac{\pi}{n}) \cdot \cos 3 \frac{\pi}{n} + 2I(V_o + V_M \cos 2 \frac{\pi}{n}) \cdot \cos 6 \frac{\pi}{n} + \dots \right. \\ \left. \dots + 2I(V_o + V_M \cos \frac{n-1}{n} \pi) \cdot \cos 3 \frac{n-1}{n} \pi + I(V_o - V_M) \right\}$$

Facendo $n=2, 3, 4, 6, 8, 12$, si ottengono ordinatamente le formule dei gruppi I, II, III, IV, V, VI. Si osservi che in generale per ottenere un valore attendibile, per esempio della terza armonica, occorrono almeno quattro valori di corrente; e questo spiega perchè nelle formule del gruppo I ($n=2$) figurano solo la prima armonica, mentre le formule del gruppo II ($n=3$) forniscono anche i valori della seconda armonica e non quelli della terza, i quali cominciano a partire da $n=4$ (gruppo III), così come quelli della quinta armonica si calcolano soltanto a partire da $n=6$ (gruppo IV).

RINALDO SARTORI.

AMICO ABBONATO, ricordati di rinnovare il tuo abbonamento e che la sollecitudine nella rimessa è la più gradita dimostrazione di amicizia per la Rivista.

ABBONAMENTI PER L'ANNO 1944 ANNO XVI DELLA RIVISTA
UN ANNO LIRE CENTO / SEI MESI LIRE CINQUANTACINQUE
 L'ABBONAMENTO NON SEGUE L'ANNO SOLARE E QUINDI PUÒ DECORRERE DA QUALSIASI NUMERO

AMICO LETTORE, se apprezzi l'opera che svolge l'antenna dai forma tangibile al tuo consenso. Abbonandoti ci aiuterai a far sempre più e meglio.

Per la rimessa, inviare vaglia oppure valersi del nostro C. C. Postale N. 3/24227 intestato alla Soc. Ed. IL ROSTRO, Milano, Via Senato 24

UNA NOVITÀ PER I CULTORI DELLA RADIO

Presentiamo ai lettori della nostra rivista la prima serie di **Grafici, abachi e nomogrammi** per la pronta e facile risoluzione dei vari problemi di studio e di pratica radiotecnica.

Il loro uso, facilitato da una chiara ed esauriente nota esplicativa unita ad ogni grafico, semplificherà e renderà rapida ogni calcolazione: la raccolta completa diventerà la indispensabile compagna di tutti i tecnici e gli studiosi della radio.

Diamo qui di seguito l'elenco di questa prima serie alla quale seguiranno le altre per formare, tutte insieme, gli elementi indispensabili per ogni progettazione.

- 1) La legge di Ohm - (Relazione nomografica fra Volt, Ampère ed Ohm).
- 2) Nomogramma per il calcolo della potenza elettrica. (Relazione tra Watt, Volt ed Ampère).
- 3) Nomogramma per il calcolo della resistenza in corrente continua dei fili di rame.
- 4) Nomogramma per il calcolo della resistenza in corrente continua dei fili di diversi metalli.
- 5) Nomogramma per il calcolo dell'ingombro dei fili di rame ai fini della bobinatura.
- 6) Nomogramma per il calcolo della resistenza dei fili di rame in regime di alta frequenza. - L'effetto pellicolare.
- 7) Abaco per il calcolo delle resistenze riduttrici di tensione per l'alimentazione dei radioricevitori.
- 8) Nomogramma per la misura delle resistenze mediante un milliamperometro.
- 9) Nomogramma per il calcolo dei complessi di resistenze in parallelo e di capacità in serie.
- 10) Nomogramma per la determinazione delle correnti derivate e degli shunts, delle cadute di tensione e delle resistenze riduttrici.

Racchiusi in comoda cartella, che potrà servire per accogliervi anche le serie successive, saranno posti in vendita al prezzo netto di Lire 80,—.

LE NOSTRE EDIZIONI TECNICHE

C. Favilla - Allineamento e taratura delle super	»	4,50
8 grafici per il calcolo delle induttanze	»	40,—
G. Termini - Manuale per la pratica delle radiatoriparazioni	»	32,—
G. Termini - Modulazione di frequenza (2ª edizione ampliata)	»	38,—
N. Callegari - Le valvole riceventi (2ª edizione aggiornata)	»	75,—

Monografie di radiotecnica:

N. Callegari - Circuiti oscillatorii e bobine per radiofrequenza (progetto e costruzione)	L.	20,—
N. Callegari - Trasformatori di alimentazione e di uscita per radioricevitori (progetto e costruzione)	»	20,—
N. Callegari - Progetto e calcolo dei radioricevitori	»	20,—
N. Callegari - Interpretazione delle caratteristiche delle valvole	»	27,—

In corso di stampa:

Ing. M. della Rocca - Piezoelettricità (2ª edizione ampliata).
 N. Callegari - Onde corte e ultracorte (2ª edizione ampliata).
 Dr. Ing. G. Gaiani - Trasmissione e ricezione (2ª ristampa).
 J. Bossi - Le valvole termoioniche (5ª ristampa).
 Dr. Ing. Mannino Patané - I circuiti elettrici.

RICHIEDETELI ALLA NOSTRA AMMINISTRAZIONE OD ALLE PRINCIPALI LIBRERIE

Si prega di rimettere l'importo o di autorizzare le spedizioni in assegno. ———— Porto ed imballo a carico del destinatario.

SCONTO DEL 10% AGLI ABBONATI ALLA RIVISTA

Gli ultrasuoni

ing. M. DELLA ROCCA

(Continuazione dal N. 1-2)

(2555/6)

I proiettori che attualmente si costruiscono hanno forma e dimensioni diverse oltre che caratteristiche elettriche differenti a seconda dell'impiego cui son destinati, principali sono: proiettori da esplorazione ver-

analizzatori rotanti, ecc. Questi apparati vengono installati su di una nave come risulta dallo schizzo di fig. 12 e possono fornire ecogrammi come quelli riprodotti nella fotografia di fig. 13 o nella fig. 14, ove

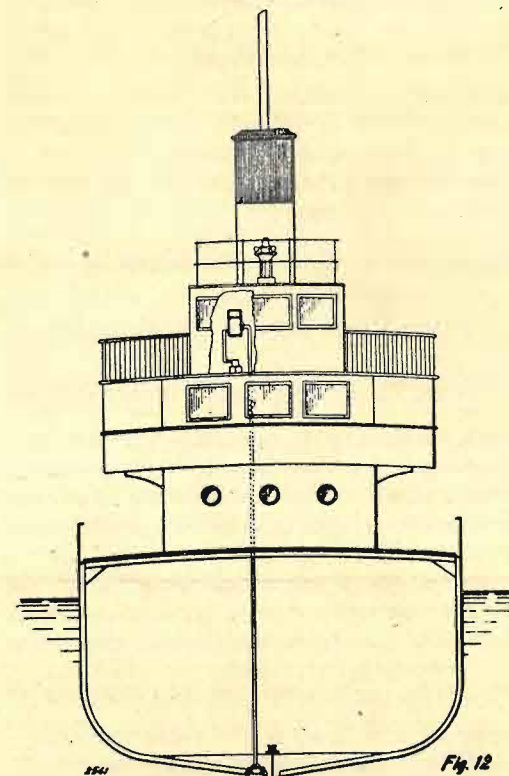


Fig. 12

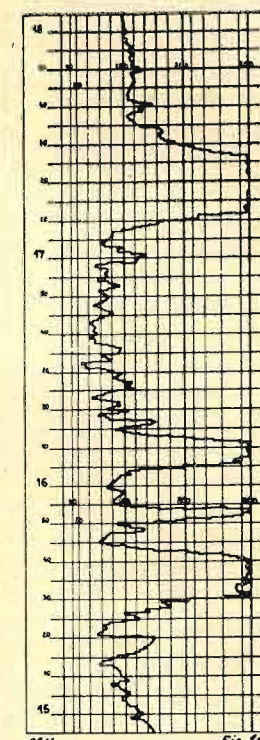


Fig. 14

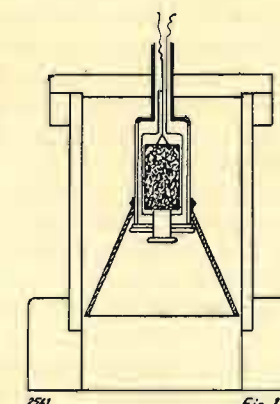


Fig. 15

ticali o da scandaglio, proiettori da esplorazione orizzontali o peritieri, proiettori da imbarcazione.

L'apparecchiatura completa quale si vede in fig. 10 oltre al proiettore comprende il generatore trasmettitore ed il ricevitore ed un indicatore ottico; oltre al posto dell'indicatore ottico hanno ecometri, ecoscopii,

in ascissa sono riportate le ore ed i tempi di scandaglio ed in ordinata le profondità che possono essere rilevate, come appare dal grafico, con l'approssimazione di 1 metro.

Proiettori ultrasuoni sono stati costruiti anche di più grande diametro atti ad essere eccitati con tensioni ri-

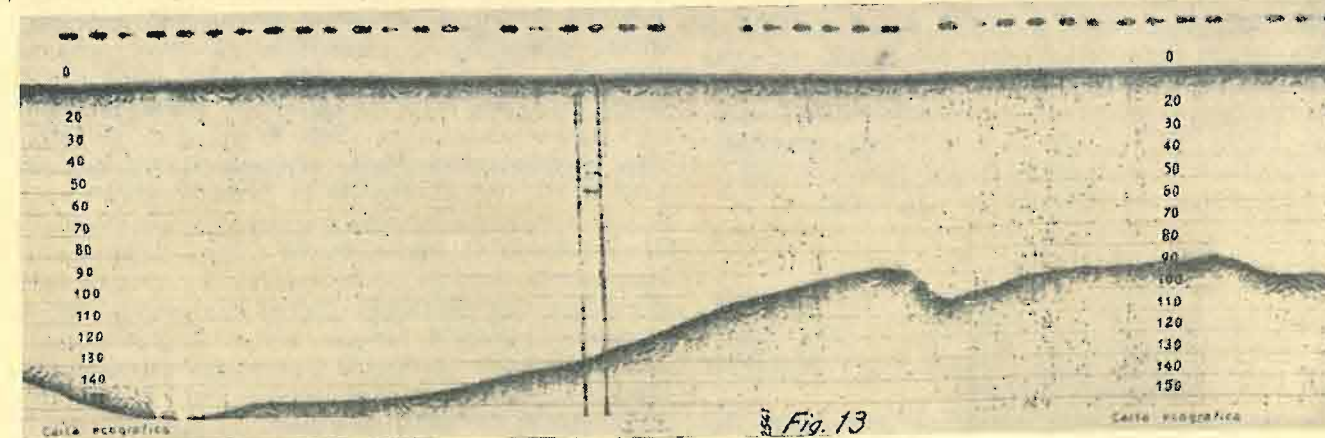


Fig. 13

levanti dell'ordine dei 2500 V; essi permettono di scandagliare profondità di 3000 metri, giungendo così a soddisfare le esigenze della navigazione e della idrografia. Senza dubbio il dopo guerra ci darà altre novità sensazionali in questo campo, perchè gli studi e le realizzazioni non si sono arrestati qui, ma han proseguito e naturalmente sono stati tenuti segreti.

IL PROIETTORE A MAGNETOSTRIZIONE.

Il fenomeno della magnetostrizione, come abbiamo già accennato, si basa sulle deformazioni meccaniche che subiscono alcuni metalli a forte percentuale di nichel quando sono sottoposti all'azione di un campo magnetico ed in reciproca alle variazioni di campo che si verificano per effetto delle deformazioni meccaniche del metallo. (W. PIERCE - *P.I.R.E.*, 1929, XVII).

Allorquando il campo magnetico varia con una frequenza uguale a quella di oscillazione meccanica del materiale si ha anche un fenomeno di risonanza ed è quindi possibile generare oscillazioni elastiche ad alta frequenza come col quarzo.

Un proiettore a magnetostrizione comprende come organo principale, un anello, una sbarra od un sistema di sbarre di nichel o materiale a forte percentuale di nichel eccitato da un generatore. Le potenze di eccitazione però sono limitate e non possono superare un dato limite a causa delle correnti parassite che si sviluppano nel metallo per effetto del campo alternato. Per ridurre questo effetto si è sempre pensato che non si dovesse oltrepassare una data sezione della barretta di nichel, indipendentemente dalla frequenza di risonanza. Però recentemente esperienze condotte su anelli di nichel-cromo, invece che su barre, han dimostrato che si possono ridurre e portare quasi a zero le correnti parassite, aumentando in pari tempo le potenze.

Oltre a ciò l'impiego di speciali proiettori a forma di campana, che servono a meglio convogliare in un fascio le onde elastiche emesse han reso possibile un migliore sfruttamento di questo principio. La forma di un proiettore a magnetostrizione è indicato nello schizzo di fig. 15. Però è da notare che il principio della magnetostrizione è giovanissimo e che i primi apparati han fatto le loro prove con l'inizio della attuale guerra; è quindi probabile che anche in questo campo si siano fatti passi da giganti, che naturalmente sono tenuti segreti, come avvenne già per il passato con l'utilizzazione dell'ultrasuono.

La frequenza alla quale risuona una barretta di nichel od altro materiale a forte percentuale di nichel è data dalla relazione $f = c/2L$, ove c è la velocità di propagazione delle onde sonore nel metallo ed L la lunghezza della barra. (K. CH. BLACK - *A dynamic study of magnetostriction* - Proc. Amer. Acad. Boston, 1928, Bd. 63; W. KALLMEYER - *Durch magnetostruktive Kräfte*, DRP 607048, 1934; G. W. PIERCE - *Magnetostrictive vibrator*, Brit. Pat. 283116, 1928).

LA POTENZA DELL'EMISSIONE.

Fra le caratteristiche dell'emissione non abbiamo accennato alla potenza, perchè di essa volevamo parlare dopo aver dato una visione d'insieme di una delle maggiori applicazioni dell'ultrasuono.

La potenza ultrasonora emessa per cm² da una la-

mina di quarzo immersa in un liquido può calcolarsi con la relazione:

$$P \text{ (watt. cm}^2\text{)} = 1,1 \cdot 10^{-28} \left(\frac{2\pi f}{2n+1} \right) \frac{\rho_1^2 V_1^2}{\rho_0 V_0} E^2,$$

ove E rappresenta l'ampiezza della tensione alternata in Volta, ρ_0 la densità del quarzo, ρ_1 la densità del mezzo e V_0 la velocità del suono.

La potenza ultrasonora può essere agevolmente raddoppiata e quadruplicata facendo lavorare il quarzo con una sola faccia immersa nel liquido, come nel caso del proiettore sonoro ove una faccia del sandwich resta nell'aria, perchè contenuta nell'involucro. In queste condizioni l'ampiezza di vibrazione si raddoppia e la potenza si moltiplica per quattro. La relazione fra am-

piezza di pressione e potenza si scrive: $P = 1/2 \frac{p_0^2}{\rho_0 V_0}$,

ove p_0 è l'ampiezza di pressione. Ad esempio nell'olio di paraffina una potenza di 10 watt cm² corrisponde ad un'ampiezza di pressione di 4,5 atm.

L'ampiezza di velocità v_0 delle particelle del liquido sottoposto a vibrazioni elastiche è in media uguale a

$\frac{v_0}{\sqrt{2}}$; l'energia cinetica di 1 cc. del mezzo liquido è

quindi: $\frac{v_0^2}{2} \rho_0$ ed essendo la velocità dell'ultrasuono V_0

si avrà: $P = \frac{v_0^2}{2} \rho_0 V_0$. E' interessante notare che per

i liquidi normali l'ampiezza di velocità è 10⁴ volte più piccolo della velocità dei moti termici delle molecole (moto di Brown) alla temperatura ambiente. Nel caso però di molecole molto grandi la velocità è molto meno elevata.

Una volta noto v_0 noi possiamo calcolare l'ampiezza di vibrazione delle particelle, cioè lo spostamento massimo in rapporto alla loro posizione iniziale, che è data

dalla relazione: $a_0 = \frac{v_0}{2\pi f}$, nel mentre l'ampiezza di

accelerazione sarà: $b_0 = 2\pi f v_0$. (D. G. BOURGIN - *Sound propagation in gas mixtures*, Phys. Rev., 1929, Bd. 7; R. W. BOYLE et J. F. LEHMANN - *Report on ultrasonic*, Cand. Res. Council 1923; F. VIERI - *Ultrasuoni*, Milano, S. A. Andreini, 1938).

La misura della potenza degli ultrasuoni è cosa non molto facile; si può eseguire con mezzi comparativi e qualitativi. Per deboli intensità ci si può servire delle figure di KUNDT e CHLADNI, note fin dal 1866, costituite dalle figure geometriche che grani di polvere qualunque formano automaticamente quando sono dispersi in un liquido sottoposto all'azione di onde elastiche; queste figure permettono un apprezzamento qualitativo. La misura quantitativa non è facile e può essere effettuata con due sistemi: il primo, più noto ed usato, consiste nel misurare la pressione di radiazione esercitata da un fascio ultrasonoro su di una superficie riflettente, evitando la formazione di un sistema di onde stazionarie; il secondo consiste nell'uso di un sistema calorimetrico che misura l'aumento di temperatura delle particelle del liquido, che a causa del moto si surriscaldano. Questi due metodi sono e resteranno metodi di laboratorio; per le grandi intensità la fontanella di liquido, sul quarzo generatore, è il punto di riferimento abituale. Esiste ed è molto usato anche il metodo Richards, basato sul principio che il

livello del liquido di un capillare in recipiente sottoposto all'azione di un fascio ultrasonoro varia secondo la potenza di questo (W. T. RICHARDS - Proc. Nat. Acad. Sc. Washington, 1929, Bd. 15).

EFFETTI MECCANICI E TERMICI DELL'ULTRASUONO.

Abbiamo già accennato alle figure di Kundt e Chladni nel parlare della misura della potenza ed aggiungiamo che esse rappresentano anche il mezzo migliore per determinare la lunghezza d'onda di un fascio ultrasonoro. Infatti se in un tubo di vetro, pieno d'aria o di liquido sottoposto ad onde elastiche, noi mettiamo dei grani di polvere, questi si sistemeranno nelle regioni ove l'agitazione elastica è minima; si vedrà quindi un sistema di nodi equidistanti il cui intervallo corrisponderà alla lunghezza d'onda; con onde stazionarie la distanza nodale sarà uguale alla metà della lunghezza d'onda. Questo è il più antico ed il più noto effetto meccanico prodotto dall'ultrasuono.

La pressione di radiazione anche è un effetto meccanico, e si può calcolare agevolmente quella esercitata da un fascio ultrasonoro contro un ostacolo opaco agli ultrasuoni. In generale essa è uguale alla densità dell'energia ultrasonora vicino all'ostacolo. Essendo questa densità uguale alla potenza ultrasonora divisa per la velocità di propagazione, si hanno pressioni dell'ordine di 1 gr/cm² per intensità dell'ordine di 10 w/cm².

Effetti distruttivi su recipienti o tubi di vetro sottile anch'essi sono effetti meccanici noti; si sa infatti che è impossibile misurare la temperatura di un liquido nel quale agisce l'ultrasuono con termometri a mercurio perchè la colonnina si spezza. Infatti per studiare una piccola regione del liquido vibrante si utilizza una bacchetta immersa nel bagno e terminante superiormente in un piccolo cilindro pieno di olio di paraffina sul quale pesa il bulbo di un termometro a mercurio; le vibrazioni trasmesse dal vetro all'olio vengono rilevate dal termometro come effetto termico.

Altro effetto noto è quello della cavitazione, consistente nell'apparizione di bollicine animate da moto regolare e rapido nei liquidi sottoposti all'energia ultrasonora. La cavitazione può essere impedita degassificando il liquido, ma in tal caso, per lo più, cessa anche l'azione dell'ultrasuono.

Altri effetti meccanici sono lo scricchiolio del ghiaccio, la dispersione in particelle colloidali del mercurio, il riscaldamento che risente la mano che tiene una bacchetta immersa in un campo ultrasonoro, mentre la bacchetta resta fredda. (C. BONDY et K. SOLLNER - *On the mechanism of emulsification by ultrasonic waves*, Trans. Faraday Soc., 1935, Bd. 31; R. W. BOYLE et G. B. TAYLOR - *Cavitation in the track of ultrasonic beam*, Phys. Rev. II, 1929; N. GAINES et L. CHAMBERS - *Further study of effects of intense audio frequency sound*, Phys. Rev. II, 1932).

EFFETTI CHIMICI DELL'ULTRASUONO

In una serie di note apparse fra il 1927 ed il 1928, Richards, Loomis e Wood hanno dimostrato che le reazioni chimiche sono sensibilmente accelerate dagli ultrasuoni, che il punto di ebollizione dei liquidi puri si trova abbassato, che gli stati metastabili passano a quello stabile, come ad es. il fosforo fuso che si solidifica non appena è sottoposto all'azione di onde elastiche. Essi hanno dimostrato anche che i gas disciolti

nell'acqua sono posti in libertà e che taluni liquidi surriscaldati esplodono in maniera spesso pericolosa, ed infine che due mezzi liquidi, i quali normalmente non si mescolano, si emulsionano facilmente quando sono sottoposti all'ultrasuono. Tal'è il caso dell'acqua con l'olio di vasellina o dell'acqua col mercurio.

Quest'ultima scoperta ha fatto sì che la chimica dei colloidi si è rivolta agli ultrasuoni con ottimi risultati sia per la qualità dei preparati ottenuti, sia per il tempo impiegato. Il meccanismo del fenomeno appare alquanto complesso, ma in linea generale è stabilito che la emulsificazione avviene perchè un fascio ultrasonoro convogliato alla superficie di separazione dei liquidi fa distaccare violentemente delle particelle infinitesimali che formano delle emulsioni. (Wood e Loomis - *Phil. Mag.*, 1927, VII - Richards e Loomis - *Am. Chem. Soc.*, 1927, 49 - Richards - *Nat. Acad. of. Sc.* 1929, 15).

Nel 1936 Claus e Schmidt riprendendo le prime esperienze eseguite dagli americani Bondy e Sollner pubblicarono i loro studi sulla dispersione dei metalli nell'acqua; essi accompagnano l'elettrolisi del metallo con una azione ultrasonora energica ottenendo una dispersione dei metalli di finezza estrema, che sembra arrivi all'ordine jonico.

Fin dal 1934 il Claus aveva condotto a termine studi sul miglioramento delle emulsioni fotografiche di notevole importanza. Il procedimento del Claus permette di aumentare enormemente l'omogeneità, la stabilità e la concentrazione dei sali d'argento nelle emulsioni fotografiche aumentando così il potere di soluzione e la sensibilità delle emulsioni. Il procedimento consiste nel precipitare il bromuro d'argento prima di fissarlo alla gelatina e di sensibilizzarlo prima di peptolizzarlo all'emulsione in modo che il grano già trattato si disperde nella gelatina; in conseguenza non è più necessario un lungo lavaggio della gelatina e la fabbricazione si può effettuare in qualche minuto. (B. Claus - *Ueber die Wirkung ultraakustischer Schwingungen auf photographische Emulsionen*, Zeit. techn. Phys., 1934, Bd. 15 - B. Claus e Schmidt - *Ueber die Erzeugung-disperser Metallzustände durch Ultraschall*, Kolloid-Beihfte, 1936, Bd. 45).

Molti autori, fra i quali il Marinesco, hanno analizzato l'influenza delle onde ultrasonore su lastre fotografiche, constatando che una irradiazione ultrasonora ha il medesimo effetto di una esposizione alla luce. Questa osservazione è interessantissima giacchè ci fa apparire l'ultrasuono come un succedaneo della luce e ci fa pensare che esiste una analogia fra energia luminosa ed energia cinetica.

Come inversa dei fenomeni elencati si è notato un effetto di coagulazione su sistemi dispersi, fra i quali notevoli sono quelli rivelati da Brandt e Fraund (*Zeit. phys. chem.*, 1935, Bd. 95) sulla coagulazione, quasi istantanea, e la precipitazione del fumo di tabacco e di P_2O_5 , SO_8 ecc.

Occorre citare anche gli studi dello Szalay (*Phys. Zeit.* 1934, Bd. 35), che ha osservato fenomeni di depolimerizzazione operando su soluzioni colloidali di corpi polimerizzati; la fecola si tramuta in destrina, la gomma araoica, la gelatina e lo zucchero si decompongono, ecc. Il fenomeno sembra sia dovuto all'accrescimento molto grande della temperatura provocata dall'aumento della velocità di moto impresso dagli ultrasuoni.

(continua).

RIPARATORI è uscito il

« Manuale per la pratica delle radioriparazioni »

di GIUSEPPE TERMINI

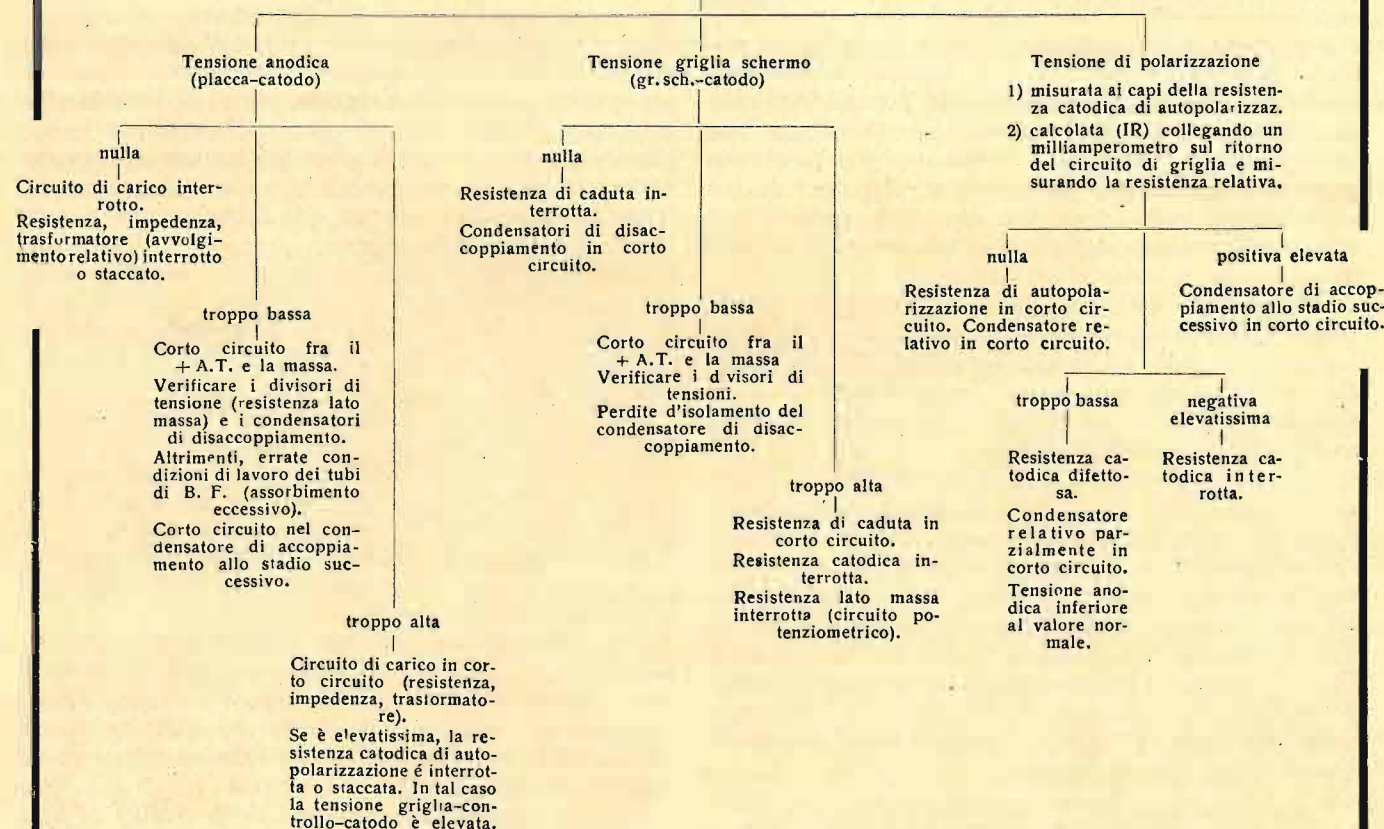
Raccolta di indicazioni, accorgimenti e consigli per il lavoro professionale del radio-riparatore, completato da una serie di prontuari schematici per la rapida determinazione dei guasti.

123 argomenti - 29 prontuari schematici

FACSIMILE DI UNA TABELLA:

VERIFICA DELLE TENSIONI

Anormalità e cause



Indispensabile in tutti i laboratori
richiedetelo alla nostra amministrazione

Impedenza d'ingresso di una valvola amplificatrice

Dott. Ing. DOMENICO MIGNECO

(2565/5)

SOMMARIO: Si tratta dell'impedenza d'ingresso d'una valvola usata come amplificatrice e si dimostra brevemente che è costituita da una parte resistiva e da una capacitiva. La parte resistiva può essere positiva o negativa; in quest'ultimo caso può dar luogo ad innesco di oscillazioni persistenti. La parte capacitiva, che si dimostra essere l'unica importante nell'amplificazione BF, è notevole negli stadi a triodo e tale da pregiudicare sensibilmente la banda di frequenza amplificata.

Per impedenza d'ingresso di una valvola amplificatrice si intende l'impedenza che si può misurare tra i terminali di griglia e di catodo, ovvero il rapporto vettoriale fra la tensione c. a. applicata al circuito di griglia e la corrente c. a. assorbita da quest'ultimo, a valvola funzionante. Qualora si conoscano le caratteristiche della valvola impiegata e le sue effettive condizioni di lavoro, si può agevolmente calcolare la corrente assorbita dal tratto griglia-catodo per una data tensione applicata alla griglia e di conseguenza determinare il valore dell'impedenza d'entrata in grandezza e fase. In

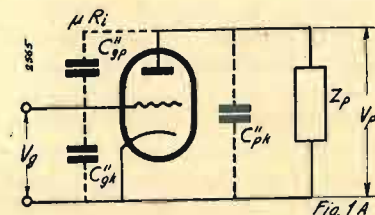
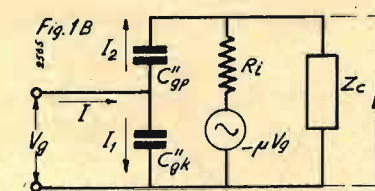


figura 1 a è rappresentato uno stadio amplificatore ed in figura 1 b il suo schema equivalente (la distorsione di forma si ammette trascurabile).

In dette figure:

Z_p è l'impedenza esterna di carico, generalmente complessa, se non altro per le capacità distribuite.

C''_{gk} è la capacità complessiva esistente tra griglia e catodo, ed è $C''_{gk} = C_{gk} + C_{gd}$ in cui C_{gk} è la ca-



pacità interelettrodica e C'_{gk} è la capacità distribuita dovuta allo zoccolo ed ai collegamenti.

C''_{gp} è la capacità complessiva esistente tra griglia e placca, è cioè $C''_{gp} = C_{gp} + C'_{gp}$ (v. sopra).

C''_{pk} è la capacità complessiva esistente tra placca e catodo, e cioè $C''_{pk} = C_{pk} + C'_{pk}$ (v. sopra).

μ è il coefficiente d'amplificazione della valvola.

R_i è la resistenza interna della valvola.

Z_c è l'impedenza complessiva di carico ed è costituita da Z_p con in parallelo C''_{pk} .

Applicando alla griglia, cioè ai capi della capacità

C''_{gk} una tensione alternativa V_g , si otterrà ai capi dell'impedenza di carico Z_c una tensione amplificata V_p della stessa frequenza e di forma simile a quella di V_g , sfasata di un certo angolo φ rispetto alla tensione $-V_g$. Questo sfasamento è dovuto al fatto che Z_c è in generale complessa, infatti per Z_c puramente ohmica, φ è nullo e la tensione V_p è in perfetta opposizione di fase con V_g .

Indicando con A l'amplificazione effettiva dello stadio considerato, cioè il rapporto fra i moduli delle tensioni V_p e V_g , si avrà:

$$V_p = V_g A (\cos \varphi + j \sin \varphi) \quad [1]$$

dove j è l'unità immaginaria e le lettere maiuscole indicano i moduli delle relative grandezze vettoriali.

La corrente I_g assorbita dal circuito di griglia sarà somma di due correnti I_1 ed I_2 che scorrono attraverso le due capacità C''_{gk} e C''_{gp} per effetto delle tensioni esistenti ai capi di esse, tensioni che sono rispettivamente V_g e $(V_g - V_p)$. Pertanto, indicando con ω la pulsazione, le due correnti suddette saranno date dalle relazioni:

$$I_1 = j \omega C''_{gk} V_g \quad I_2 = j \omega C''_{gp} (V_g - V_p)$$

e per la [1]

$$I_2 = j \omega C''_{gp} V_g [1 + A (\cos \varphi + j \sin \varphi)]$$

La corrente totale sarà perciò:

$$I = I_1 + I_2 = j \omega C''_{gk} V_g + j \omega C''_{gp} V_g [1 + A (\cos \varphi + j \sin \varphi)] \quad [2]$$

L'ammettenza d'entrata dello stadio amplificatore, che è uguale all'inverso dell'impedenza d'entrata sarà:

$$Y_e = \frac{I}{V_g} = j \omega C''_{gk} + j \omega C''_{gp} [1 + A (\cos \varphi + j \sin \varphi)] = \frac{1}{Z_e}$$

da cui

$$Y_e = j \omega [C''_{gk} + C''_{gp} (1 + A \cos \varphi)] - \omega C''_{gp} A \sin \varphi \quad [3]$$

Dalla [3] si deduce che l'impedenza d'ingresso di una valvola amplificatrice è equivalente ad una resistenza R_e con in parallelo una capacità C_e che chiameremo effettive ed i cui valori sono dati da:

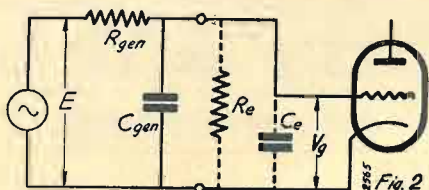
$$R_e = - \frac{1}{\omega C''_{gp} (A \sin \varphi)} \quad [4]$$

$$C_e = C''_{gk} + C''_{gp} (1 + A \cos \varphi) \quad [5]$$

E, dal punto di vista del generatore applicato alla

griglia, lo stadio assume l'aspetto segnato in figura 2.

Dall'esame della [4] si ricava che la resistenza effettiva d'ingresso R_e è variabile con la pulsazione ω e quindi con la frequenza e che più precisamente, per un dato $\text{sen } \varphi$, decresce al crescere della frequenza. Inoltre R_e è negativa o positiva a seconda che l'angolo φ è positivo o negativo, cioè a seconda che il carico Z_c contiene una parte reattiva induttiva o capacitiva, ed va-



lore di R_e è legato alla frequenza, non solo per mezzo del fattore ω ma anche attraverso allo sfasamento φ . Allorché l'impedenza complessiva di carico Z_c è puramente resistiva, la resistenza effettiva R_e risulta infinita e l'impedenza d'entrata si riduce alla sola capacità.

$$C_e = C''_{gk} + C''_{gp} (A + 1) \quad [6]$$

Questo è il caso di risonanza del carico anodico o di $1/\omega C''_{pk}$ trascurabile rispetto ad una Z_p puramente ohmica (amplificatori a resistenza capacità, con R_p non troppo elevata ed ω bassa).

Quando la resistenza effettiva R_e è positiva, significa che una certa quantità di energia viene trasferita dal circuito di griglia a quello di placca, si ha perciò un assorbimento di potenza dal generatore applicato tra griglia e catodo. Al contrario una resistenza effettiva d'ingresso negativa indica il fenomeno inverso, cioè un trasferimento di energia dal circuito di placca a quello di griglia (reazione positiva).

Per un dato valore dello sfasamento φ , il valore assoluto della resistenza R_e è inversamente proporzionale alla frequenza ed alla capacità C''_{gp} , pertanto alle frequenze più alte può raggiungere valori così bassi da determinare l'innesco di oscillazioni persistenti se R_e è negativa (φ positivo, carico anodico induttivo), o, rispettivamente, caricare sensibilmente il generatore collegato all'entrata dello stadio se R_e è positiva (φ negativo, carico anodico capacitivo). Questi inconvenienti si manifestano in misura maggiore con i triodi che coi pentodi perchè nei primi la capacità C_{gp} e quindi anche C''_{gp} è molto più elevata.

La capacità effettiva d'ingresso C_e è pure dipendente dalla frequenza, ma solo in modo indiretto, in quanto l'ampiezza della componente della tensione V_p in opposizione di fase a V_g , e cioè la $(A \cos \varphi)$ varia con lo sfasamento φ e cioè con la frequenza in gioco.

Negli amplificatori a bassa frequenza la resistenza effettiva d'entrata R_e è sempre molto elevata a causa del basso valore delle frequenze in gioco, può perciò esser trascurata. D'altro canto la capacità effettiva di ingresso C_e resta in parallelo all'uscita del generatore applicato tra griglia e catodo (v. figura 2), che il più delle volte ha una resistenza interna R_{gen} di valore piuttosto elevato (generalmente da 0,1 ad 1 MΩ) e pertanto ne risulta una sensibile attenuazione delle frequenze più alte.

Negli amplificatori ad alta e media frequenza, in cui l'impedenza di carico Z_c è generalmente un circuito

risonante su una data frequenza, l'ampiezza A e lo sfasamento φ dell'amplificazione variano molto col variare della frequenza in gioco, di conseguenza variano apprezzabilmente tanto la resistenza che la capacità effettive del circuito d'ingresso.

La curva della capacità effettiva d'ingresso è simile alla curva dell'amplificazione, cioè assume valori bassi alle frequenze lontane dalla risonanza e raggiunge il massimo alla frequenza di risonanza, mantenendosi simmetrica rispetto a questa frequenza.

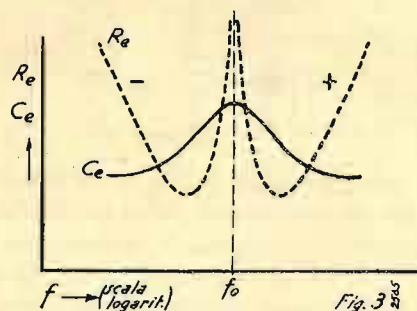
La resistenza effettiva d'ingresso, dal canto suo, è positiva per le frequenze al di sopra della risonanza (carico con reattanza capacitiva) e negativa per frequenze al di sotto della risonanza (carico con reattanza induttiva). Alla risonanza la resistenza effettiva d'ingresso R_e assume valore infinito e i valori assoluti di R_e si mantengono simmetrici rispetto a tale frequenza. Il minimo, in valore assoluto, della resistenza effettiva di ingresso si ha in due punti simmetrici, poco discosti dalla frequenza di risonanza, per i quali R_e assume rispettivamente il minimo valore negativo (massima reazione positiva) ed il minimo valore positivo (massimo carico sul generatore).

La figura 3 riporta i grafici di R_e e C_e in funzione della frequenza per il caso in esame e cioè di Z_c costituito da un circuito risonante sulla frequenza f_0 .

Se anche nel circuito di griglia dell'amplificatore vi è un circuito risonante, la curva di risonanza di quest'ultimo può venir fortemente influenzata dall'impedenza d'ingresso della valvola amplificatrice. Se il circuito di griglia è accordato su una frequenza più bassa di quella su cui è accordato quello anodico, la resistenza effettiva d'ingresso alla frequenza di risonanza del primo risulta negativa e può pertanto compensare in parte le perdite del circuito di griglia stesso, migliorandone così il fattore di merito e conseguentemente la selettività, ma distorcendone tuttavia la curva di risonanza. Se poi il trasferimento di energia dal circuito anodico a quello di griglia è così rilevante da compensare completamente le perdite di quest'ultimo si innescano delle oscillazioni persistenti: ciò avviene quando alla frequenza di risonanza del circuito di griglia si ha:

$$R_e < Z_{rg}$$

in Z_{rg} è l'impedenza dinamica del circuito risonante di griglia. E' questo un sistema molto usato dai



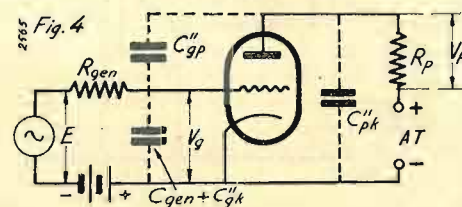
dilettanti americani per ottenere la generazione di oscillazioni persistenti ed è conosciuto sotto il nome di oscillatore Armstrong o TPTG (tuned plate, tuned grid). Anche nei normali ricevitori a conversione di frequenza si verifica talvolta tale fenomeno e cioè l'innesco di oscillazioni di media frequenza quando

l'amplificazione è eccessiva relativamente alla capacità complessiva griglia-placca.

Allorché invece la R_e , pur non scendendo al punto da permettere l'innesco, è tale da far sentire la sua influenza, la curva di risonanza del circuito di griglia risulta distorta: alle frequenze più alte di quella di risonanza, R_e è positiva e la selettività risulta ridotta, a quelle più basse R_e è negativa e la selettività risulta acuita, in altre parole la curva di risonanza diventa disimmetrica.

Onde dare un'idea dell'ordine di grandezza e dell'influenza dell'impedenza di ingresso di una valvola amplificatrice, calcoliamo la resistenza e la capacità effettive d'ingresso per una valvola 6C5 G FIVRE, usata come amplificatrice a bassa frequenza a resistenza-capacità.

Le caratteristiche nel punto di lavoro e le capacità tra gli elettrodi, tenendo conto di quelle esterne e conglobando in C''_{pk} anche quella del carico (supposto



collegato alla griglia di un pentodo finale), si possono ritenere le seguenti (v. fig. 4):

Capacità complessiva griglia-catodo

$$C''_{gk} = C_{gk} + C'_{gk} = 2 + 5 = 7 \text{ pF}$$

Capacità complessiva griglia-placca

$$C''_{gp} = C_{gp} + C'_{gp} = 5 + 3 = 8 \text{ pF}$$

Capacità complessiva placca-catodo

$$C''_{pk} = C_{pk} + C'_{pk} = 12 + 18 = 30 \text{ pF}$$

Coefficiente d'amplificazione $\mu = 20$

Resistenza interna $R_i = 15000 \Omega$

Resistenza di carico $Z_p = R_p = 50000 \Omega$

Resistenza interna del generatore $R_{gen} = 200000 \Omega$ (corrisponde a quella presentata da una 6J7G con $R_p = 0,25 \text{ M}\Omega$).

L'impedenza della capacità C''_{pk} , anche alle frequenze più elevate è dell'ordine del MΩ, può perciò essere trascurata rispetto alla resistenza di carico $R_p = 0,05 \text{ M}\Omega$, in parallelo alla quale viene a trovarsi.

L'amplificazione della valvola è data da

$$A = \frac{\mu R_p}{R_p + R_i} = \frac{20 \cdot 50000}{50000 + 15000} = 15,4$$

e poichè abbiamo ritenuto il carico puramente resistivo, abbiamo cioè trascurato $1/\omega C''_{pk}$ rispetto R_p , sarà

$$\varphi = 0 \quad \text{sen } \varphi = 1 \quad R_e = \infty$$

La resistenza effettiva d'ingresso R_e sarà praticamente infinita.

La capacità effettiva d'ingresso sarà data da (vedi la [6]):

$$C_e = C''_{gk} + C''_{gp} (A + 1) = 7 + 8 \cdot 15,4 = 130 \text{ pF}$$

A questa va aggiunta la capacità d'uscita del generatore (nel nostro caso valvola 6J7G) e dei relativi collegamenti, che ammonta ad una ventina di pF: in totale

$$C'_e = 150 \text{ pF}$$

Questa capacità costituisce partitore con la resistenza interna del generatore (v. fig. 2) ed in particolare attenua di 3Db (0,707) il segnale applicato alla frequenza per cui è

$$R_{gen} \omega C'_e = 1$$

Ciò nel nostro caso, alla frequenza di 5300 c. p. s.

Come si vede, in generale la capacità equivalente d'entrata degli stadi amplificatori BF a triodo assume valori proibitivi e se sono pilotati da generatori con resistenza interna relativamente elevata (dell'ordine di 100000 Ω o più) si riesce a stento ad avere una banda passante che si estenda fino ai 10.000 c. p. s.

Molto più favorevole è il comportamento di un pentodo (o comunque di una valvola a griglia schermante); per esempio la 6J7G FIVRE (v. fig. 5). Le capacità complessive tra gli elettrodi sono per tale valvola (v. esempio precedente):

$$C''_{gk} = C_{gk} + C'_{gk} = 5 + 5 = 10 \text{ pF}$$

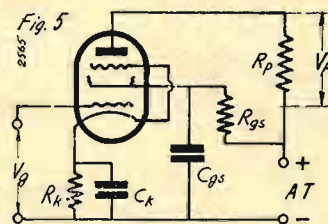
$$C''_{gp} = C_{gp} + C'_{gp} = 0,007 + 0,093 = 0,1 \text{ pF}$$

$$C''_{pk} = C_{pk} + C'_{pk} = 12 + 18 = 30 \text{ pF}$$

Con $R_p = 100.000 \Omega$, $R_{gs} = 500.000 \Omega$, $R_k = 600 \Omega$ l'amplificazione ottenuta è circa

$$A = 90.$$

Trascurando in prima approssimazione lo sfasamen-



to dovuto alla presenza di C''_{pk} , ponendo cioè $\varphi = 0$, si ha

$$R_e = \infty$$

e

$$C_e = C''_{gk} + C''_{gp} (A + 1) = 10 + 0,1 \cdot 90 = 19 \text{ pF}$$

valore, come si vede, molto modesto rispetto a quello trovato precedentemente nel caso del triodo, benché l'amplificazione ottenuta sia circa sei volte maggiore.

E' questo uno dei motivi per cui le sorgenti ad alta impedenza interna, fotocellule, microfoni a condensatore, microfoni e pick-up piezoelettrici etc., vanno sempre collegate a pentodi, nonchè una delle ragioni per cui gli amplificatori a larga banda occorrenti in televisione fanno sempre uso di pentodi.

La trasmissione a grande distanza di correnti foniche di rilevante potenza

C. FAVILLA

(2543)

Al tecnico progettista di impianti di diffusione elettroacustica può presentarsi il problema di dover trasmettere a notevole distanza una corrente fonica di rilevante potenza, atta a far funzionare uno o più altoparlanti.

In questo caso la soluzione del problema non può più essere soddisfatta attuando la solita trasmissione diretta dell'energia, poichè le perdite nella linea sarebbero eccessive, si da superare di molto la potenza effettivamente utilizzata al terminale. E' perciò necessario ricorrere al sistema di trasmissione dallo scrivente già praticato fin da diversi anni fa con pieno successo, e che qui in breve si descrive, sistema che utilizza in parte gli accorgimenti della normale tecnica telefonica.

Le trasmissioni dirette delle correnti foniche di rilevante valore si attuano generalmente per percorsi di linea non superiori ai 2000 mt., cioè per distanze non superiori ai 1000 mt. Nei calcoli pratici di queste linee si tien conto solamente delle perdite per effetto della resistenza pura ($I^2 R$). Possono però essere notevoli anche le perdite per capacità, se l'impedenza del circuito terminale è relativamente alta, oppure quelle per induttanza, se la corrente di linea è rilevante.

E' perciò essenziale, per un buon rendimento di trasmissione diretta, scegliere un valore ottimo di impedenza terminale.

Per trasporti di potenze rilevanti a distanze di parecchie migliaia di metri, invece, noi vediamo che i parametri resistenza, induttanza e capacità, assumono un tal valore da ridurre il rendimento di trasmissione, come abbiamo detto, in misura non conveniente anche usando una impedenza terminale ottima.

La prima volta che ci si presentò il caso di una trasmissione di potenza a grande distanza fu nel 1938; si trattava di trasmettere alla distanza di circa 6 Km. la potenza fonica atta a pilotare tre altoparlanti, dei quali uno a tromba esponenziale prolungata, utilizzando come linea una normale coppia telefonica in cavo a coppie multiple e accentrando presso il centralino pilota il comando d'inserzione degli altoparlanti terminali.

La potenza da trasportare era di circa 15 watt utili al terminale, mentre la resistenza di linea era complessivamente di circa 750 ohm e la capacità di circa $0,4 \mu F$.

Un trasporto diretto in queste condizioni si presentava praticamente impossibile, considerato anche il fatto che la potenza massima da immettersi in una coppia telefonica non può superare un certo limite, generalmente di 0,08 watt ed anche meno.

Pertanto fu studiata la possibilità di utilizzare la coppia telefonica unicamente per il trasporto di una frazione dell'ampiezza di corrente richiesta al terminale e di amplificare tale corrente direttamente sul posto di utilizzazione, al terminale.

Restava però ancora da risolvere il problema della inserzione centralizzata degli altoparlanti terminali. Questi dovevano fun-

zionare contemporaneamente; quindi bastava comandare l'inserzione dell'amplificatore, al quale gli altoparlanti restavano sempre collegati.

Dopo qualche prova, l'inserzione dell'amplificatore terminale si pensò di effettuarla mediante un relais azionato da una corrente continua trasmessa attraverso la stessa coppia telefonica.

Il sistema, studiato nei minimi particolari dallo scrivente, fu posto in pratica nell'ottobre del 1938, secondo lo schema indicato nella fig. 1.

Come si vede, la particolarità più notevole dell'apparecchiatura consiste nel collegamento di linea e nel sistema di filtri destinato a far percorrere alla corrente continua e a quella alternata fonica due circuiti rispettivamente diversi nei centralini terminali. L'amplificatore pilota fu progettato atto ad alimentare tre linee e a fornire una potenza complessiva di 60 watt, di cui solamente una parte, e cioè di circa 10 watt, fu destinata alla alimentazione delle linee. Di questa potenza, poi, solamente una frazione è immessa nelle coppie, come vedremo.

L'amplificatore terminale fu realizzato in modo che potesse elevare l'ampiezza di linea al livello necessario per pilotare gli altoparlanti terminali, a ciascuno dei quali occorre una potenza modulata di circa 5 watt (su una impedenza di utilizzazione di circa 250 ohm).

Come si nota nello schema, l'amplificatore pilota è munito di un trasformatore di uscita avente un secondario con impedenza caratteristica di circa 10 ohm. Tale secondario è collegato alla linea attraverso una capacità C , a carta, di $4 \mu F$, isol. 500 V, avente la funzione di bloccare la corrente continua destinata ad azionare il relais per la messa in funzione dell'amplificatore terminale, e di obbligarla a percorrere il circuito predisposto. La resistenza pura R , collegata in parallelo al secondario del trasformatore a monte del condensatore di blocco, costituisce un carico tampone avente lo scopo di mantenere l'impedenza di linea ad un valore conveniente, così da ottenere una grande differenza di livello tra l'ampiezza di disturbo e l'ampiezza utile, pure essendo immessa nella linea una potenza limitata. Questo espediente fu escogitato perchè la linea, benchè schermata, risultava notevolmente disturbata per induzione prodotta da altre linee vicine.

Le impedenze Z_1, Z_2, Z_3 , hanno lo scopo di bloccare la derivazione di una sensibile corrente fonica dalla linea, mentre consentono il passaggio della corrente continua necessaria al funzionamento del relais terminale.

La presa centrale esistente sul primario del trasformatore di entrata dell'amplificatore terminale ha lo scopo di bilanciare rispetto alla massa i due conduttori di linea, in modo da neutralizzare per controfase le correnti disturbatrici eventualmente presenti in linea nonostante l'effetto del carico tampone inserito all'inizio della coppia. La neutralizzazione risulta perfetta per quelle correnti disturbatrici che provengono da ciascun conduttore di linea con la stessa ampiezza e la stessa fase. L'avvolgimento secondario dello stesso trasformatore, inoltre, è anche schermato rispetto al primario, e ciò per maggiore sicurezza.

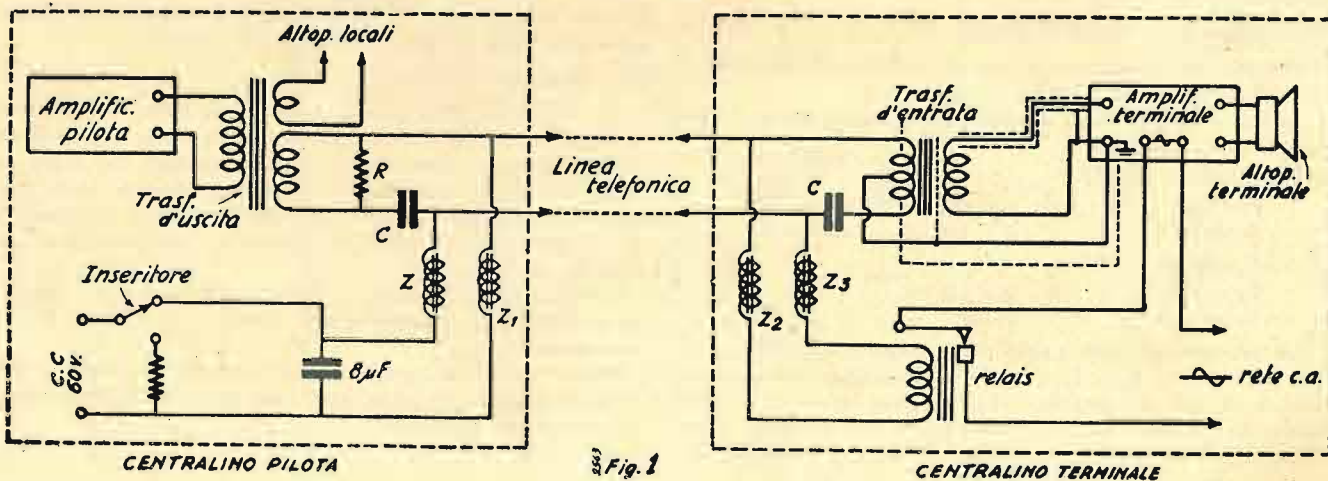


Fig. 1

CENTRALINO TERMINALE

L'amplificatore terminale è corredato di regolatori di volume e di tonalità, regolabili una volta tanto a seconda delle esigenze, ed è anche atto a fornire la corrente di eccitazione per gli altoparlanti dinamici ad eccitazione elettrica del campo magnetico.

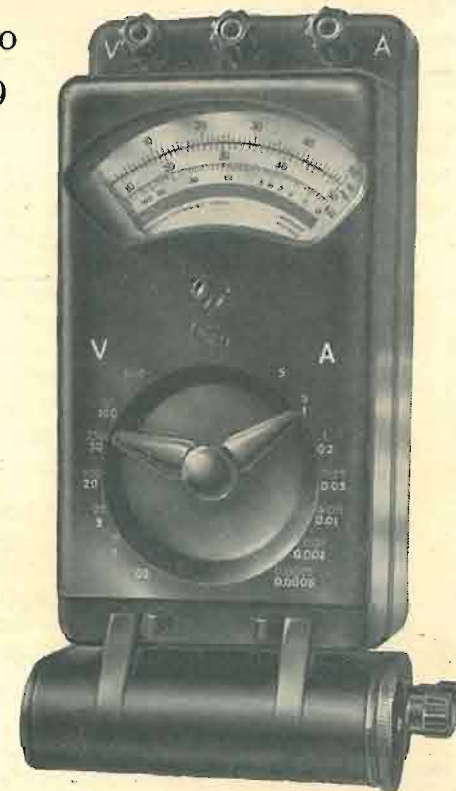
Per la messa a punto del complesso l'unico particolare che dovette essere ritoccato, in questo primo impianto, fu quello dell'alimentazione del relais terminale — relais normale ad ampolla di mercurio da 5 ampère — dato che la massima tensione continua tra i conduttori della linea non avrebbe dovuto superare, per ragioni di sicurezza di isolamento, i 60 volt.

Questa prima apparecchiatura fu installata a Milano per conto di un Ente cittadino, e durante quattro anni, e cioè fino a che non rimase sinistrata in una incursione aerea, funzionò perfettamente senza il menomo inconveniente.

Altre numerose installazioni basate sullo stesso sistema, effettuate dopo questa prima, si sono dimostrate preziose in molti altri casi in cui si dovevano usare anche linee di fortuna, tese in aria per diversi chilometri. La massima distanza coperta in impianti installati finora dallo scrivente è stata di circa 7000 metri; non si vede però un ostacolo per l'esercizio con linee anche molto più lunghe, purchè si usino relais di conveniente sensibilità e si attuino gli accorgimenti normali per le linee telefoniche e per i cavi così detti musicali.

L'Albometro

Mod. 2159



La Società Allocchio, Bacchini & C. ha studiato e realizzato uno strumento utile a quanti si interessano di elettrotecnica e radio: l'Albometro Mod. 2159.

Si tratta di uno strumento universale per la misura di correnti e di tensioni sia in corrente continua che in corrente alternata. La sua latitudine di impiego è quindi assai vasta. Esso è montato in elegante custodia di bachelite che contiene anche lo strumento indicatore ed il commutatore per le diverse portate. Lo strumento indicatore è della nota serie M. E' provvisto di dispositivo di correzione dello zero; porta due scale della lunghezza di circa 65 mm.: una per la corrente continua e l'altra per la corrente alternata ed è munito di indice a cello e di specchio per evitare l'errore di parallasse. Il collegamento al circuito esterno si fa attraverso tre morsetti di

Questi accorgimenti consistono principalmente in una conveniente posizione della linea, in una sufficiente pupinizzazione e schermatura, in un ottimo isolamento.

Già da parecchi anni la tecnica telefonica è riuscita a effettuare trasporti di correnti foniche anche a distanze di migliaia di chilometri, usando amplificatori terminali di compenso di livello e di distorsione di frequenza, e linee adeguatamente pupinizzate per rendere la risposta della trasmissione soddisfacentemente uniforme entro una gamma conveniente.

Anche in Italia esiste tutta una rete di linee telefoniche in cavo, di tipo « musicale », pupinizzate con induttanze di 13 mH poste a 1830 metri circa, atte a consentire il passaggio ad una banda di frequenza da 50 a 6000 Hz circa. Tutte queste linee musicali sono munite di amplificatori di compenso, generalmente inseriti alla distanza di circa 70 ÷ 80 chilometri l'uno dall'altro.

In Germania i più recenti cavi musicali per le radiotrasmissioni sono invece pupinizzati con induttanze di 12 mH, poste alla distanza di circa 1700 metri, e sono muniti di amplificatori di compenso inseriti ogni 70 chilometri circa. La potenza immessa a valle di ogni amplificatore è di circa 0,6 watt e la differenza di livello per ogni tratta di linea è compresa tra +0,8 neper e -2,3 neper. La dinamica di un cavo, come rapporto di tensione, è quindi tenuta da 1 a 100 circa.

CARLO FAVILLA.

cui quello centrale è comune, quello di sinistra serve per l'inserzione come voltmetro e quello di destra per l'uso come amperometro.

Due commutatori a leva servono: quello di sinistra per usare lo strumento in corrente continua o in corrente alternata, quello di destra per misurare con lo strumento o tensioni o correnti.

Per variare la sensibilità dello strumento si manovrano le due leve poste nella parte superiore della scatola: quella di sinistra varia la sensibilità voltmetrica; quella di destra la sensibilità amperometrica.

Le portate per la corrente continua sono le seguenti: 0,0005 - 0,002 - 0,01 - 0,05 - 0,2 - 1 - 5 A.

0,2 - 1 - 5 - 20 - 50 - 100 - 500 V.

per la corrente alternata:

0,0025 - 0,01 - 0,05 - 0,25 - 1 - 5 A.

5 - 25 - 100 - 250 - 500 V.

L'assorbimento come voltmetro è di 0,5 mA in corrente continua e 2,5 mA in corrente alternata a fondo scala. La caduta di tensione come amperometro è di 150 mV in corrente continua e 750 mV in corrente alternata.

Il raddrizzamento della corrente alternata si ottiene attraverso elementi raddrizzatori ad ossido di rame compensati per la temperatura, così che l'errore per effetto di variazioni termiche ambientali è limitatissimo.

In corrente continua lo strumento può dare un errore del $\pm 1\%$ a fondo scala; in corrente alternata del $\pm 1,5\%$ con forma d'onda sinusoidale e con frequenze industriali.

Com'è chiaramente visibile, nella parte anteriore dello zoccolo vi sono due bocche in cui si possono innestare le spine di una scatola contenente una pila del tipo tascabile da 4,5 volt allo scopo di poter misurare delle resistenze. La scatola è provvista di un piccolo reostato e di due morsetti ai quali si collega la resistenza da misurare. Lo strumento è dunque anche un ohmmetro. Per rilevare il valore delle resistenze si mettono dapprima i morsetti in corto circuito, indi si regola il reostato fino a portare l'indice dello strumento in fondo scala, poi si deriva la resistenza incognita. Sulla scala inferiore si legge direttamente il valore in chilohm. La resistenza massima misurabile è di 500 kΩ.

I nostri lettori possono apprezzare la novità che porta sul nostro mercato, a opera di una industria specializzata, uno strumento atto a dare al radioriparatore e al tecnico in genere, un ausilio veramente apprezzabile nella professione; specie oggi che la radioriparazione risponde a necessità contingenti veramente sentite.

(n. d.).

Ci sembra intanto eccessiva la sezione del filo primario (4/10!) per un trasformatore da campanelli. Verificate bene, probabilmente tale sezione è solo dei fili di uscita e non dell'avvolgimento. Se fosse veramente 4/10 l'avvolgimento occupe-

rebbe ben altro spazio! La cosa non darebbe però alcun inconveniente.

La sezione del conduttore secondario è insufficiente, per esso si richiede filo da 0,8 come minimo.

La soluzione migliore è di usare due 56 in serie fra loro alimentandole così con 5 volt 1 ampere. Le 27 consumano troppo, è assai meglio usare due 56. Si potrebbe allora avvolgere filo da 0,5.

Non possiamo precisare il numero di spire perchè non conosciamo quelle del primario, ma probabilmente si aggireranno sulle 16 spire per volt. Basta del resto svolgere l'attuale secondario ad 8 volt, che non serve, contando il numero di spire per sapere quante spire sono state avvolte per ogni volt dal costruttore.

Cn 6515 - Sinisi Gaetano, Sestri.

Potete usare la 6F6 al posto della 42 come da vostro schema. Potete anche usare una resistenza da 3000 Ω al posto della bobina di eccitazione, sarà però più adatta da 4 watt.

Non è conveniente l'aggiunta di una 6V6 essendo già la 6F6 una valvola finale.

Vi conviene piuttosto usare un'altra valvola come rivelatrice a reazione, per esempio una '77 o una 6J7G utilizzando lo schema del ricevitore 2+1 descritto nella 1ª puntata di «Ricevitori del tempo di guerra» sull'ultimo numero de l'Antenna, vecchia gestione.

Non è conveniente abbassare la tensione con una resistenza sul primario del trasf. di alimentazione. Ciò determina, all'atto della inserzione della corrente, delle pericolose punte di tensione che possono assai facilmente danneggiare gli elettrolitici o le valvole.

La cuffia così inserita va bene, il cond. da 0,1 mettetelo però verso il positivo, non verso massa, per evitare eventuali scosse.

Potete usare il potenz. da 10.000. Nel ricevitore di cui al vostro schema non è conveniente l'applicazione delle O.C., essa è invece possibile sul ricevitore da noi consigliati.

Cn 6516 - Cattorini Giovanni, Samarate (Varese).

Troverete la descrizione dell'apparecchio che vi interessa a pag. 122 del N. 7 annata 1942 (Analizzatore - provavalvole) e a pag. 225 del N. 13.

Cn 6517 - Clemente Severo, Milano.

L'oscillatore di BF del generatore pubblicato nel 1937 è assai pratico, ma ha il torto di fornire una corrente d'uscita con cattiva forma d'onda. Questo inconveniente può essere tollerato in un generatore di A.F. ma non in un generatore di B.F. creato apposta per funzionare a tali frequenze.

Crediamo che si addica assai di più alle vostre esigenze l'oscillatore a battimenti descritto dal Sig. Andreini nel numero 35 dell'annata 1937 di «Radio Industria» a pag. 672.

Cn 6518 - Bosettim Carlo, Forlì.

Con le valvole in vostro possesso potete realizzare lo schema pubblicato per la consulenza N. 3047. Tenete presente che la valvola 2B7 si accende con 2,5 volt in luogo che con 4 volt come richiede la WE 30.

La '27 in questo caso non serve, vi occorre invece una raddrizzatrice sul genere della 80 o 5Y3 (a 5 volt) o WE 51-WE 52 (a 4 volt).

Cn 6519 - Antonio Pellegrini, Milano.

Lo strumento che possedete non è adatto allo scopo. Si potrebbe forse adattare eliminando il raddrizzatore e lo shunt, ma si tratta di una operazione delicata che d'altra parte non conviene perchè toglie il pregio allo strumento.

Tentate piuttosto di cambiarlo con uno adatto allo scopo, il compito vi può essere facilitato da una piccola inserzione su qualche rivista tecnica.

Lo schema modificato non va bene, la griglia schermo deve essere collegata alla placca e non al catodo, inoltre va eliminata la presa di terra ed il condensatore da 0,5 μ F connessi al circuito oscillante.

La valvola EL2 non è la più adatta perchè è di potenza eccessiva.

Cn 6521 - Talamana Renzo, Vercelli.

Non ci consta che attualmente vi siano corsi rispondenti alle vostre necessità.

Potete usare il 2 X 465 (1 sola sezione). E' necessario un condensatorino di reazione separato, a mica o non, quello da 500 pF può andare. L3 dovrà essere di 30 spire. Spesso in casi analoghi l'impedenza di AF si può abolire sostituendola con un collegamento diretto, in quanto è sufficiente l'impedenza del primario del 1º trasf. di B.F. Usate pure il filo da 0,2 smaltato con i dati originali dello schema. Usando diametri di filo maggiori l'avvolgimento diventa più lungo ed occorre allora aumentare il diametro del tubo in modo da compensare la riduzione di induttanza che ne deriva. Non vi rimane che autocostruirvi la bobina.

Cn 6520 - Fucchi Mario, Nerviano.

Gli elementi che ci fornite sono insufficienti, non ci dite infatti se la stessa sorgente a 36 volt (corrente continua) deve servire anche per accendere i filamenti delle valvole.

Non ci dite se potete disporre di debole o di forte intensità, se è corrente filtrata o proveniente da batterie ecc.

In generale vi è solo un tipo di valvola atta a funzionare con tensione anodica così bassa, si tratta delle valvole bigriglia ora totalmente scomparse dal commercio.

Se i 36 volt sono forniti da una rete di illuminazione si può usare un convertitore o un survoltore a vibrazione combinando i circuiti di accensione in modo da adattarli alla tensione di rete, usando valvole a riscaldamento indiretto.

SEGNALAZIONE DI BREVETTI

«Perfezionamenti ai radiotrasmettitori direzionali o radiofari»
AGA-BALTIC A. G., a Stoccolma-Lidingö (6-571).

«Radio-trasmettitore, particolarmente per l'atterramento in volo cieco in aeroporti»
LA STESSA (6-571).

«Sistema meccanico per la rotazione continua del bottone di sintonia delle scale parlanti posti sugli apparecchi radio in genere»

MASONI R., TENTONI T., a Roma (6-575).

«Radiorecettore con scala di sintonia ribaltabile disposta sostanzialmente esternamente alla scatola dell'apparecchio»
N. V. PHILIPS GLOEILAMPENFABRIEKEN, a Eindhoven (Paesi Bassi) (6-575).

«Sistema di rivelazione di onde persistenti non modulate»

S.A.F.A.R. SOC. AN. FABBRICAZIONE APPARECCHI RADIOFONICI & GINANNI CORRADINI F., a Milano (6-576).

«Antenna-quadro per apparecchi radio»
VIS VETRO ITALIANO DI SICUREZZA, a Milano (6-576).

Copia dei succitati brevetti può procurare: l'ING. A. RACHELI - Studio Tecnico per brevetti di invenzione - Modelli - Marchi - Diritto d'Autore - Ricerche - Consulenza. - MILANO - Via P. Verri, 7 - Telef. 70.018
Succursale: ROMA - Via Nazionale, 46 - Telet. 485.431

PICCOLI ANNUNZI

CERCO annate Riviste «L'Antenna» e «La Radio» dal 1929 al 1943 - Ditta I. C. E. - Borromeo, 10 - Milano.

COMUNICATO

Si ricorda ai quotidiani e ai periodici che si pubblicano in tutte le Province della Lombardia che essi sono tenuti ad inviare regolarmente due copie di ciascun numero al seguente preciso e inalterabile indirizzo: REPARTO SCHEDARIO dell'UFFICIO STAMPA - presso la PREFETTURA - MILANO.
Ciò indipendentemente dall'invio degli esemplari d'obbligo alle Prefetture e al Ministero della Cultura Popolare.

Le annate de
«L'ANTENNA»
sono la miglior
fonte di studio e di
consultazione per tutti.

In vendita presso la
nostra Amministrazione

Anno 1938 . L. 70.-

Anno 1939 . L. 70.-

Anno 1941 . L. 45.-

Anno 1942 . L. 73.-

Anno 1943 . L. 70.-

Porto ed imballo a carico del
destinatario. Le spedizioni in asse-
gno aumentano dei diritti postali

Tutti i fascicoli anteriori
al 1936 sono esauriti

I numeri scelti delle annate 1936 e 1937
costano L. 3,50 cad. Quelli delle annate
1938-39-40-41-42 L. 7 cad. - Per i nu-
meri doppi tali prezzi sono raddoppiati.

ED. «IL ROSTRO», Via Senato, 24 - Milano
Dott. ing. SPARTACO GIOVENE - direttore resp.

Autorizzazione Ministero Cultura Popolare
N. 1744 del 7 Gennaio 1944-XXII

Tipografia STEFANO PINELLI - Milano
Via Farneti 8 - Telef. 273-955

Strumenti di misura

VORAX
S.A.

Viale Piave, 14 - MILANO - Tel. 24.405

VORAX O. S. 104
Misuratore universale provavalvole
Misura in continua ed in alternata

VORAX O. S. 120
Oscillatore modulato in alternata
(Brevettato)

VORAX O. S. 105
Misuratore universale provavalvole
Misure in continua ed in alternata

A blue-toned collage of various electronic components and Magretti Marelli products. The collage includes a large circular speaker or horn at the top right, a complex electronic assembly with many tubes and wires on the left, and various smaller components like capacitors, resistors, and tubes scattered throughout. A yellow musical staff with notes is superimposed diagonally across the center, symbolizing the harmony of technology and music. The Magretti Marelli logo is prominently displayed in the top left corner.

FABBRICA ITALIANA MAGNETI MARELLI - MILANO